### МИКРОСХЕМЫ ИНТЕГРАЛЬНЫЕ К5342EX014, К5342EX015

Технические условия АДКБ.431420.403ТУ

# **Содержание**1 Общие положения ......

1.1 Классификация. Условные обозначения	3
2 Технические требования	5
2.1 Требования к конструкции	5
2.2 Требования к электрическим параметрам и режимам	6
2.3 Требования к устойчивости при механических воздействиях	12
2.4 Требования к устойчивости при климатических воздействиях	12
2.5 Требования к надежности	12
3 Контроль качества и правила приемки	13
3.1 Требования по обеспечению и контролю качества в процессе	13
производства	
3.2 Правила приемки	14
3.3 Методы контроля	15
5 Указание по применению и эксплуатации	51
6 Справочные данные	52

7 Гарантии преприятия-изготовителя.....

11 Лист регистрации измерений.....

53

87

Настоящие технические условия (далее – ТУ) распространяются на микросхемы интегральные K5342EX014 и K5342EX015 (далее – микросхемы).

Микросхемы имеют широкий диапазон применения в качестве элементов при построении блоков электропитания, элементов согласования при управлении силовыми цепями и ключами на МОП транзисторах и БТИЗ в аппаратуре.

Микросхемы, поставляемые по настоящим ТУ, должны соответствовать требованиям ГОСТ 18725 и требованиям, установленным в соответствующих разделах настоящих ТУ.

#### 1 Общие положения

Термины и определения – по ГОСТ 17021, ГОСТ 19480. Перечень ссылочных нормативно-технических документов приведен в разделе 10.

Общие положения – по ГОСТ 18725 с дополнениями и уточнениями, приведенными в настоящем разделе.

#### 1.1 Классификация. Условные обозначения

- 1.1.1 Классификация и система условных обозначений микросхем по ОСТ 11 073.915.
  - 1.1.2 Тип (типономинал) поставляемых микросхем указан в табл. 1
- 1.1.3 Обозначение микросхем при заказе и в конструкторской документации другой продукции:
  - Микросхема К5342ЕХ014 АДКБ.431420.403ТУ;
  - Микросхема К5342ЕХ015 АДКБ.431420.403ТУ.

Таблица 1 — Типы (типономиналы) поставляемых микросхем

				и в нормальных клима чение, единица измер		нструк- и		o 4	схеме	a)	
Условное обозначение микросхем	Основное функциональ- ное назначение	Выходное напряжение высокого уровня $U_{\text{вых. B}}$ , В при $U_{\text{п}} = 18 \text{ B}$	Выходное напряжение низкого уровня $U_{\text{вых. H}}$ , В при $U_{\text{п}} = 18 \text{ B}$	Ток потребления при выходном напряжении высокого уровня $I_{\text{пот. B}}$ , мкА при $U_{\text{п}} = 35 \text{ B}$	Ток потребления при выходном напряжении низкого уровня $I_{\text{пот. H}}$ , мкА при $U_{\text{п}} = 35 \text{ B}$	Обозначение комплекта конструк- торской документации	Обозначение схемы электрической	Условное обозначение корпуса по ГОСТ 54844	Количество элементов в с	Группа типов (испытательная группа)	Код ОКП (ОКПД2)
		не	не более	не более	не более	Обозна		, §	Коли	(В	
K5342EX014	Схема управления затвором	17,9	0,1	3,5	3,5	ДФЛК.431163.010	106.00431	4320.8-A	- более 100	1 (1)	6331483251 (26.11.30.000.02909.1)
K5342EX015	МОП ПТ и БТИЗ	17,9	U,1	3,3	5,3	ДФЛК.431163.011	ДФЛК.430106.004Э1	MK 5205.8-2	OOJICE TOO	1 (1)	6331483261 (26.11.30.000.02910.1)

#### 2 Технические требования

#### 2.1 Требования к конструкции

2.1.1 Микросхемы изготавливаются по комплекту конструкторской документации, обозначение которого приведено в табл. 1.

Общий вид, габаритные, установочные и присоединительные размеры микросхем приведены на чертежах УКВД.430109.607ГЧ, УКВД.430109.569ГЧ.

Микросхемы разрабатываются в конструктивном исполнении, предназначенном для ручной сборки аппаратуры.

- 2.1.2 Обозначение описания образцов внешнего вида ДФЛК.430104.005Д.
- 2.1.3 Масса микросхем не более:
- 0,2 г в корпусе МК5205.8-2;
- 0,1 г в корпусе 4320.8-А.
- 2.1.4 Микросхемы в металлокерамических корпусах должны быть герметичны. Показатель герметичности микросхем по скорости утечки газа не должен быть более  $6,65\cdot10^{-3}$  Па·см<sup>3</sup>/с (5·10<sup>-5</sup> л·мкм рт.ст./с).

Показатель герметичности микросхем в металлополимерных корпусах не регламентируется (монолитный корпус).

- 2.1.6 Выводы микросхем должны обеспечивать способность их пайки по ГОСТ 18725.
- 2.1.8 Электрическая схема с назначением и нумерацией выводов приведена на чертеже, обозначение которого указано в табл. 1.
- 2.1.9 Микросхемы должны быть трудногорючими. Микросхемы не должны самовоспламеняться и воспламенять окружающие их элементы при воздействии аварийных электрических перегрузок.

#### 2.2 Требования к электрическим параметрам и режимам

- 2.2.1 Электрические параметры микросхем при приемке и поставке должны соответствовать нормам, приведенным в табл. 2. Электрические параметры микросхем в течение наработки в пределах времени, равного сроку сохраняемости, должны соответствовать нормам, приведенным в табл. 2.
- 2.2.3 Электрические параметры микросхем в течение срока сохраняемости приведены в табл. 2.
- 2.2.4 Значения предельно допустимых и предельных режимов эксплуатации в диапазоне рабочих температур должны соответствовать нормам, приведенным в табл. 3.
  - 2.2.5 Номинальное значение напряжения питания микросхем 18 В.

Допустимое отклонение значения напряжения питания от номинального  $\pm 3\%$ .

Таблица 2 – Значения электрических параметров микросхем при приемке и поставке

Наименование параметра, единица измерения, режим измерения	Буквен- ное обоз- начение парамет- ра	-	ома метра не более	Темпера- тура окру- жающей среды, °С	При- меча- ние
1	2	3	4	5	6
Входное пороговое напряжение высокого уровня, В	U <sub>пор. вх. в</sub>			25 ± 10	1
при U <sub>п</sub> = 7 В;		0,8	3,0	$-60 \pm 3$ ,	
при U <sub>п</sub> = 18 В		0,8	3,0	$125 \pm 5$	
Входное пороговое напряжение низкого уровня, В	Uпор. вх. н			$25 \pm 10$ $-60 \pm 3$ ,	1
при $U_{\pi} = 7 B;$		0,8	3,0	$125 \pm 5$	
при U <sub>п</sub> = 18 В		0,8	3,0		
Входное пороговое напряжение высокого уровня по выво-	$U_{\text{пор. EN. B}}$			25 ± 10	1
ду EN, В при $U_n = 7 B$ ;		0,8	3,0	$-60 \pm 3$ ,	
при U <sub>п</sub> = 18 В		0,8	3,0	$125 \pm 5$	
		0,8	3,0		

Продолжение таблицы 2

1	2	3	4	5	6
Входное пороговое напряжение	U <sub>пор. EN.</sub>			25 ± 10	1
низкого уровня по выводу EN,	Н			$-60 \pm 3$ ,	
B при $U_{\pi} = 7 B$ ;		0,8	3,0	$125 \pm 5$	
при $U_{\pi} = 18 B$		0,8	3,0	123 ± 3	
Входной ток высокого уровня,	I <sub>вх. в</sub>				1
мкА при $U_{\text{вх}} = 18 \text{ B},$		_	10	$25 \pm 10$	
$U_{\pi} = 18 B$			15	$-60 \pm 3$ ,	
		_	13	$125 \pm 5$	
Входной ток низкого уровня,	I <sub>вх. н</sub>				1
мкА при $U_{\text{вх}} = 0 \text{ B}, U_{\pi} = 18 \text{ B}$		-10	_	$25 \pm 10$	
		-15		$-60 \pm 3$ ,	
		-13	_	$125 \pm 5$	
Входной ток высокого уровня	I <sub>BX. EN. B</sub>				1
по выводу EN , мкА					
при $U_{EN} = 18B$ ; $U_{BX} = 18B$ ;		_	10	$25 \pm 10$	
$U_{\pi} = 18B$			15	$-60 \pm 3$ ,	
		_	13	$125 \pm 5$	
Входной ток низкого уровня по	I <sub>вх. ЕП. н</sub>				1
выводу EN, мкА					
при $U_{EN} = 0 B$ ; $U_{BX} = 18 B$ ;		-220	_	$25 \pm 10$	
$U_{\pi} = 18 B$		-250		$-60 \pm 3$ ,	
		-230		$125 \pm 5$	
Выходное напряжение высоко-	$U_{{\scriptscriptstyle \mathrm{BMX.B}}}$				1
го уровня, В					
при $U_{\pi} = 7 B$ ; $U_{BX} = 3.0 B$ ;		6,9	_	$25 \pm 10$	
$I_{\text{\tiny BBIX}} = 0 \text{ A};$		6,75		$-60 \pm 3$ ,	
		0,73		$125 \pm 5$	
при $U_{\pi} = 18 B; U_{BX} = 3,0 B;$		17,9	_	25 ± 10	
$I_{\text{вых}} = 0 \text{ A}$		1 <i>7 75</i>		$-60 \pm 3$ ,	
		17,75	_	$125 \pm 5$	

1	2	3	4	5	6
Выходное напряжение низкого	$U_{{\scriptscriptstyle \mathrm{B}\mathrm{M}\mathrm{X.\;H}}}$				1
уровня, В					
при $U_{\pi} = 7 B$ ; $U_{BX} = 0.8 B$ ;		_	0,1	$25 \pm 10$	
$I_{\text{вых}} = 0 \text{ A};$			0.25	$-60 \pm 3$ ,	
		_	0,25	$125 \pm 5$	
$при U_{\pi} = 18 B; U_{BX} = 0.8 B;$					
$I_{\text{вых}} = 0 \text{ A}$		_	0,1	$25 \pm 10$	
			0.05	$-60 \pm 3$ ,	
		_	0,25	$125 \pm 5$	
Выходное сопротивление при	R <sub>вых. в</sub>				1
высоком уровне выходного					
напряжения, Ом		_	2,5	$25 \pm 10$	
при $U_{BX} = 18 B$ ; $U_{\Pi} = 18 B$ ;			2	$-60 \pm 3$ ,	
$I_{\text{BMX}} = 50 \text{ MA}$		_	3	$125 \pm 5$	
Выходное сопротивление при	R <sub>вых. н</sub>				1
низком уровне выходного					
напряжения, Ом		_	2,0	$25 \pm 10$	
при $U_{BX} = 0 B$ ; $U_{\Pi} = 18 B$ ;			2.5	$-60 \pm 3$ ,	
$I_{\text{вых}} = -50 \text{ MA}$		_	2,5	$125 \pm 5$	
Ток потребления при выходном	$I_{\text{пот. B}}$				2
напряжении высокого уровня,				$25 \pm 10$	
мА		_	3,5	$-60 \pm 3$ ,	
при $U_{BX} = 35 B$ ; $U_{\Pi} = 35 B$ ;				$125 \pm 5$	
$I_{\text{вых}} = 0 \text{ A}$					
Ток потребления при выходном	$I_{\text{пот. H}}$			0.5 . 1.0	2
напряжении низкого уровня, мА				$25 \pm 10$	
при $U_{BX} = 0 B$ ; $U_{\Pi} = 35 B$ ;		_	3,5	$-60 \pm 3$ ,	
$I_{\text{BbIX}} = 0 \text{ A}$				$125 \pm 5$	

,					
1	2	3	4	5	6
Напряжение отпускания защиты	U <sub>отп.</sub>			25 ± 10	1
от снижения напряжения	UVLO			$-60 \pm 3$ ,	
питания (UVLO), В		6	7	ŕ	
$при U_{вx} = 5 B$				$125 \pm 5$	
Напряжение срабатывания	U <sub>срб.</sub>			25 ± 10	1
защиты от снижения	UVLO				
напряжения питания (UVLO), В		6	7	$-60 \pm 3$ ,	
$при U_{BX} = 5 B$				$125 \pm 5$	
Время задержки распространения	t <sub>зд. р. выкл</sub>				1, 3
при выключении, нс при $U_{\pi} = 18$					
$B; U_{BX} = 5 B;$		_	50	$25 \pm 10$	
$C_{\text{H}} = 1\ 000\ \Pi\Phi$		_	65	$-60 \pm 3$ ,	
			03	$125 \pm 5$	
Тепловое сопротивление кри-	$R_{T n-\kappa}$	_	15	_	
сталл-корпус, °С/Вт микросхем в корпусе					
MK5205.8-2;					
микросхем в корпусе		_	15	_	
4320.8-A.					
Время задержки распростране-	t <sub>зд. р. вкл</sub>				1, 3
ния при включении, нс			<b>~</b> 0	25 . 10	
$при U_{\Pi} = 18 B; U_{BX} = 5 B;$		_	50	$25 \pm 10$	
$C_{\text{H}} = 1\ 000\ \Pi\Phi$		_	65	$-60 \pm 3$ ,	
D				$125 \pm 5$	1 4
Время нарастания выходного	t <sub>нар. вых</sub>				1, 4
сигнала, нс			16	25 + 10	
при $U_{\pi} = 18 B$ ; $U_{BX} = 5 B$ ; $C_{H} = 1 000 \pi \Phi$		_	10	$25 \pm 10$ $-60 \pm 3$ ,	
$C_{\rm H} = 1~000~{\rm H}$				·	
Rhang chara buyannara curuana	t			$125 \pm 5$	1, 4
Время спада выходного сигнала, нс	t <sub>сп. вых</sub>				1,4
$_{\text{при }U_{\text{п}}} = 18 \text{ B}; U_{\text{вх}} = 5 \text{ B};$		_	16	$25 \pm 10$	
$C_{\rm H} = 1\ 000\ {\rm m}\Phi$				$-60 \pm 3$ ,	
n				$125 \pm 5$	
			<u> </u>	120 - 0	

#### Окончание таблицы 2

Примечания

включении.

1 Значения параметров и их состав указаны для каждого канала ИС.

EAR-

- 2 Измерения проводятся в статическом режиме при  $I_{\text{вых}} = 0 \text{ A}$ .
- 3 Время задержки распространения интервал времени между подачей входного сигнала и появлением выходного сигнала по уровню  $U_{\text{вых}}=0,1U_{\text{вых. в}}$  при выключении и  $U_{\text{вых}}=0,9$   $U_{\text{вых. в}}$  при
- 4 Время нарастания выходного сигнала и время спада выходного сигнала интервал времени, в течение которого происходит изменение выходного напряжения между уровнями  $U_{\text{вых}} = 0,1 \ U_{\text{вых},B}$  и  $U_{\text{вых}} = 0,9 \ U_{\text{вых},B}$  .

Таблица 3 — Значения предельно допустимых и предельных режимов эксплуатации микросхем в диапазоне рабочих температур

Предельно

Наименование параметра	венное обо-	допус	ельно тимый ким	-	ельный жим	Номер пункта
режима, единица измерения	значе- ние пара- метра	не	не более	не	не более	приме-
1	2	3	4	5	6	7
Напряжение питания, В	Uπ	7	35	-0,3	40	1
				-0,3	38,5	
Выходное напряжение, В	$U_{\text{вых}}$	0	$U_{\pi}$	-0,3	$U_{\pi} + 0,3$	
Входное напряжение, В	$U_{\text{bx}}$			-5	$U_{\pi} + 0.3$	2
		-0,3	$\mathbf{U}_{\pi}$	-0,3	$O_{\Pi} + O_{\bullet}S$	
Выходной ток, А	$I_{\text{вых}}$					
при температуре корпуса						
от минус 60 °C до плюс		-1	1	-4	4	3
105 °C						
при t = 125 °C		-0,75	0,75			4
Импульсный выходной ток, А	$I_{\scriptscriptstyle  m BMX\ MM\Pi}$	-4	4	-5	5	3, 5

#### Окончание таблицы 3

1	2	3	4	5	6	7
Рассеиваемая мощность,	P <sub>pac</sub>					6
Вт						
при температуре окружа-						
ющей среды						
от минус 60 °C до плюс						
65 °C		_	0,80	_	_	
при t = 125 °C		_	0,24	_	_	
Температура <i>p-n</i> перехода	$T_{\pi \text{ max}}$	_	150	_	_	
кристалла, °С						

#### Примечания

- 1 для напряжения 40 В длительность воздействия не более 12 ч;
- 2 для напряжения минус 5 В длительность воздействия не более 10 мкс;
- 3 для токов минус 4 A и 4 A длительность воздействия не более 10 мкс при напряжении питания  $U_{\pi}$  = 18 B;
- $4-\Pi$ ри температуре корпуса значение выходного тока в диапазоне от плюс  $105~^{\circ}\mathrm{C}$  до плюс  $125~^{\circ}\mathrm{C}$  линейно снижается
- 5 для токов минус 5 A и 5 A длительность воздействия не более 10 мкс при напряжении питания  $U_{\pi} = 35$  B;
- 6 снижение рассеиваемой мощности в диапазоне температуры окружающей среды от плюс 65 °C до плюс 125 °C рассчитывается по формуле

$$P_{pac} = (150 - T_{C}) / R_{T_{\Pi-c}}, \qquad (1)$$

и снижается по линейному закону, где

 $T_{C}-$  температура окружающей среды;

 $P_{\text{pac}}$  — рассеиваемая мощность;

 $R_{T_{n-c}}$  — тепловое сопротивление кристалл-среда 105 ° C/Bт.

#### 2.3 Требования к устойчивости при механических воздействиях

Микросхемы должны быть механически прочными и сохранять свои параметры в процессе и после воздействия на них механических нагрузок установленных в ГОСТ 18725, в том числе:

Линейное ускорение 30 000 м/с (3000 g) в направлении оси Y2.

#### 2.4 Требования к устойчивости при климатических воздействиях

Микросхемы должны быть устойчивы к климатическим воздействиям и сохранять свои параметры в процессе и после воздействия на них следующих климатических факторов:

- а) пониженной рабочей температуры среды минус 60°С и пониженной предельной температуры среды минус 60°С;
- б) повышенной рабочей температуры среды 125°С; повышенной предельной температуры среды 125°С;
- в) изменения температуры среды в пределах от повышенной предельной температуры среды;
- г) относительной влажности не более 98% при температуре 35 °C без конденсации влаги;
  - д) атмосферного пониженного давления 26664 Па (200 мм рт.ст.);
  - е) атмосферного повышенного давления до 294199 Па (3 кгс/см<sup>2</sup>).

### 2.5 Требования к надежности

- 2.5.1 Наработка микросхем в режимах и условиях, установленных техническими условиями, должна быть не менее 50000 ч, а в облегченных режимах (при  $P_{pac} = 0.7 * P_{pac}$ ), не менее 60000 ч.
- 2.5.2 Интенсивность отказов в течении наработки не должна превышать 3·10<sup>-7</sup> 1/ч и подтверждается после сдачи ОКР в серийном производстве.
- 2.5.3 Гамма-процентный срок сохраняемости микросхем при хранении их в условиях, установленных ГОСТ 21493 10 лет при доверительной вероятности  $\gamma = 95\%$ .

### 3 Контроль качества и правила приемки

3.1 Требования по обеспечению и контролю качества в процессе производства по ГОСТ 18725 с дополнениями и уточнениями, приведенными в настоящем разделе.

Отбраковочные испытания по ГОСТ 18725, в том числе:

технологический контроль внутренних соединений проводить по методу 109-4 OCT 11 073.013;

испытание на воздействие изменения температуры среды от минус 60 °C до 125 °C; измерение электрических параметров (состав параметров соответствует группе С-3) проводят в режимах, указанных в табл. 4;

испытание на воздействие повышенной рабочей температуры среды проводят по методу 201-1.1 ОСТ 11 073.013;

контроль внешнего вида по методу 405-1.3 ОСТ 11 073.013;

функциональный контроль при нормальных климатических условиях и повышенной рабочей температуре среды проводится по методу, приведенному в настоящем разделе ТУ, и совмещается с проверкой статических параметров.

Допускается вместо проверки электрических параметров при повышенной температуре среды проводить проверку параметров при нормальных климатических условиях по нормам, обеспечивающим установленные значения параметров при повышенной и пониженной рабочей температуры среды.

Испытание на воздействие изменения температуры среды проводится по методу 205-1 ОСТ 11 073.013. Количество циклов равно 5.

Испытание на воздействие изменения температуры среды допускается проводить однокамерным методом (метод 205-2 ГОСТ 20.57.406), время достижения теплового равновесия -10 мин.

Электротермотренировка проводится при  $t=125\,^{\circ}\mathrm{C}$ ,  $U_{\Pi}=35\,\mathrm{B}$  в течение 24 ч. Термообработку для стабилизации параметров перед герметизацией проводят в течение 1 часа при температуре 150  $^{\circ}\mathrm{C}$ .

- 3.2 Правила приемки по ГОСТ 18725 и требованиям, изложенным в настоящем подразделе.
- 3.2.1 Испытания по проверке прочности внешних выводов групп K-7, П-4 не проводят.
- 3.2.2 Испытания на герметичность групп К-7, П-4 и испытания на вибропрочность и виброустойчивость групп К-9, П-5 не проводят. Вместо испытания на герметичность проводят испытание на воздействие повышенной влажности воздуха (кратковременное).
  - 3.2.3 Для испытаний по группе С-1 приемочный уровень дефектности 2,5 %.
  - 3.2.4 Для испытаний по группе С-3 приемочный уровень дефектности 0,1 %.
- 3.2.5 Объем выборки для группы испытаний K-11 19 шт., приемочное число C=0.
- Проверку динамических параметров не проводят. Функциональный контроль проводят на максимальной рабочей частоте.
- 3.2.6 Время выдержки микросхем перед приемо-сдаточными испытаниями указывается в технологической документации.
- 3.2.7 Испытание маркировки на стойкость к воздействию очищающих растворителей по группе П-4 не проводят на микросхемах, у которых маркировка нанесена лазерной гравировкой.
- 3.2.8 При приемо-сдаточных испытаниях допускается вместо проверки статических параметров при повышенной и пониженной рабочих температурах среды проводить проверку параметров при нормальных климатических условиях по нормам, обеспечивающим установленные значения параметров при повышенной (пониженной) рабочей температуре среды при нормальных климатических условиях.

### 3.3 Методы контроля

#### **3.3.1 Методы контроля** – по ГОСТ 18725 и ОСТ 11 073.013.

#### 3.3.2 Общие положения

- 3.3.2.1 Схемы включения микросхем при испытаниях, проводимых под электрической нагрузкой, электрические режимы выдержки в процессе испытаний и параметры-критерии приведены на рисунках 1 43.
- 3.3.2.2 Параметры для всех видов испытаний, их нормы, условия, режимы и методы измерения этих параметров приведены в таблице 4.

Состав параметров по каждой группе испытаний приведен в таблице 5.

- 3.3.2.3 Испытание на воздействие повышенной и пониженной рабочей температуры среды, атмосферное пониженное давление, повышенную влажность воздуха (кратковременную и длительную), виброустойчивость и вибропрочность, многократные и одиночные удары, безотказность и долговечность допускается проводить без распайки на печатные платы с использованием контактирующих устройств.
- При испытаниях на воздействие одиночных и многократных ударов, линейные нагрузки направления воздействия ускорения в двух направлениях у<sub>2</sub>, z или x в соответствии с ОСТ 11 073.013.
- 3.3.2.4 При испытаниях на воздействие изменения температуры среды, повышенной влажности воздуха, атмосферного пониженного и повышенного давления воздуха микросхемы помещают так, чтобы они не касались друг друга.

Таблица 4 – Нормы и режимы измерения параметров микросхем при испытаниях Режим измерения Номер пункта примечания Погрешность при измерении Норма (контроле параметров), % Букпарамет-Значения испытательных напряжений, Тем-Номер проверяемого Наименование венное pa токов на выводах пераобознапараметра, вывода тура Номер вывода единица чение не среды, не измерения пара- $^{\circ}C$ бомеметра нее лее 2 3 5 8 6 2 8 16 3 4 5 6 7 9 10 11 12 13 14 15  $\overline{U}_{\text{пор .вх. в}}$ 1.1 Входное пороговое напряжение высо-0,8 3,0 7 B 0 - 5 B7 B 7 B кого уровня, В  $25 \pm 10$  $\pm 3$  $(\Delta=20 \text{ MB})$ 0 - 5 B7 B 7 B 7 B 4  $(\Delta=20 \text{ MB})$  $U_{\text{пор. вх. в}}$ 1.2 Входное пороговое напряжение высо-0,8 7 B кого уровня, В 3,0  $-60 \pm 3$  $\pm 3$ 7 B  $0 - 5 \, B$ 7 B  $(\Delta=20 \text{ MB})$ 0 - 5 B7 B 7 B 7 B 4  $(\Delta = 20 \text{ MB})$ 

	<i>r</i>	,
1	1	2
	1.3 Входное	U <sub>nop</sub>
	пороговое нап-	
	ряжение высо-	
	кого уровня, В	

1.4 Входное

пороговое нап-

ряжение высо-

кого уровня, В

1.5 Входное

пороговое нап-

ряжение высо-

кого уровня, В

.BX. B

 $\overline{U_{\text{пор. вх. в}}}$ 

 $U_{\text{пор .вх. в}}$ 

0,8

0,8

0,8

3

3,0

3,0

3,0

5

 $125 \pm 5$ 

 $25 \pm 10$ 

 $-60 \pm 3$ 

6

 $\pm 3$ 

 $\pm 3$ 

 $\pm 3$ 

7

2

4

4

2

4

8

7 B

7 B

18 B

18 B

18 B

18 B

9

 $0 - 5 \, B$ 

 $(\Delta=20 \text{ MB})$ 

0-5B

 $(\Delta=20 \text{ MB})$ 

 $0 - 5 \, B$ 

 $(\Delta=20 \text{ MB})$ 

10

11

0 - 5 B

 $(\Delta=20 \text{ MB})$ 

 $0 - 5 \, B$ 

 $(\Delta=20 \text{ MB})$ 

0 - 5 B

 $(\Delta=20 \text{ MB})$ 

12

13

7 B

7 B

18 B

18 B

18 B

18 B

14

15

7 B

7 B

18 B

18 B

18 B

18 B

16

Продолжение таблицы 4

	,														
1	2	3	4	5	6	7	8	9	10	11	12	13	14	15	16
1.6 Входное	U <sub>пор. вх. в</sub>														
пороговое нап-															
ряжение высо-															
кого уровня, В		0,8	3,0	$125 \pm 5$	±3	2	18 B	0-5 B	_	_	_	18 B	_	18 B	
								(∆=20мВ)							
						4	18 B	_	_	0 - 5 B	_	18 B		18 B	
							102			(∆=20мВ)		102			
2.1 Входное	$U_{\text{пор. вх. н}}$														
пороговое нап-															
ряжение низко-															
го уровня, В		0,8	3,0	$25 \pm 10$	± 3	2	7 B	5-0B	_	_	_	7 B	_	7 B	
								(∆=20мВ)							
						4	7 B	_	_	5-0B	_	7 B	_	7 B	
						•	, <b>B</b>			(∆=20мВ)		, 5		, <b>D</b>	
2.2 Входное	$U_{\text{пор. вх. н}}$														
пороговое нап-															
ряжение низко-															
го уровня, В		0,8	3,0	$-60 \pm 3$	± 3	2	7 B	5-0B	_	_	_	7 B	_	7 B	
								(∆=20мВ)							
						4	7 B			5 - 0 B	_	7 B		7 B	
							, D			(Δ=20мВ)		ן ט		/ <b>D</b>	

прообляетие и															
1	2	3	4	5	6	7	8	9	10	11	12	13	14	15	16
2.3 Входное	U <sub>пор. вх. н</sub>														
пороговое нап-															
ряжение низко-															
го уровня, В		0,8	3,0	$125 \pm 5$	± 3	2	7 B	5-0B	_	_	_	7 B	_	7 B	
								(∆=20мВ)							
						4	7 B	_	_	$5 - 0  \mathrm{B}$	_	7 B	_	7 B	
						'	, D			(∆=20мВ)		<i>,</i> D		/ <b>D</b>	
2.4 Входное	$U_{\text{пор. вх. н}}$														
пороговое нап-															
ряжение низко-															
го уровня, В		0,8	3,0	$25 \pm 10$	± 3	2	18 B	5-0B	_	_	_	18 B	_	18 B	
								(∆=20мВ)		- 0-					
						4	18 B	_	_	5-0B	_	18 B	_	18 B	
2.5 Входное	ĪT									(Δ=20мВ)					
	$U_{\text{пор. вх. н}}$														
пороговое нап-															
ряжение низко-го уровня, В		0,8	3,0	$-60 \pm 3$	± 3	2	18 B	5 - 0 B	_	_	_	18 B	0 A	18 B	
то уровня, в		0,0	3,0	-00 ± 3	<u> </u>	2	10 <b>D</b>	$(\Delta = 20 \text{ MB})$		_		10 D	UA	10 <b>D</b>	
								(201110)		5-0B					
						4	18 B	_	_	$(\Delta=20 \text{ MB})$	_	18 B	_	18 B	
		<u> </u>	<u> </u>	I				1							

Продолжение таблицы 4

1	2	3	4	5	6	7	8	9	10	11	12	13	14	15	16
2.6 Входное по-	Uпор. вх. н														
роговое напря-															
жение низкого															
уровня, В		0,8	3,0	$125 \pm 5$	± 3	2	18 B	5-0B	_	_	_	18 B	_	18 B	
								(∆=20мВ)		- 0.7					
						4	18 B	_	_	5-0 B ( $\Delta$ =20 MB)	_	18 B	_	18 B	
3.1 Входное по-	$U_{\text{пор. EN. B}}$														
роговое напря-															
жение высокого															
уровня по выво-		0.0	2.0	22 . 40		1	0.50					7 D	1 1	7.0	
ду EN, В		0,8	3,0	$25 \pm 10$	± 3	1	0-5 B ( $\Delta=20 \text{ mB}$ )	_	_	_	_	7 B	1 мА	7 B	
							,							$0-5\mathrm{B}$	
						8	7 B	_	_	_	1 mA	7 B	_	$(\Delta=20 \text{ MB})$	
3.2 Входное по-	Uпор. EN. в														
роговое напря-															
жение высокого															
уровня по выво-															
ду EN, B		0,8	3,0	$-60 \pm 3$	±3	1	0-5B	_	_	_	_	7 B	1 мА	7 B	
							(Δ=20 <sub>M</sub> B)							0 5 D	
						8	7 B	_	_	_	1 мА	7 B	_	0-5 B ( $\Delta=20 \text{ MB}$ )	
<u> </u>	I	<u>I</u>	<u>I</u>	I			I			1		1	<u>I</u>	/ / /	

<u> </u>														
2	3	4	5	6	7	8	9	10	11	12	13	14	15	16
$U_{\text{пор. EN. B}}$														
	0,8	3,0	$125 \pm 5$	± 3	1	0-5 B ( $\Delta$ =20 MB)	_	_	_	_	7 B	1 мА	7 B	
					8	7 B	_	I		1 мА	7 B		0-5 B ( $\Delta = 20 \text{ MB}$ )	
U <sub>пор. ЕП. в</sub>														
	0,8	3,0	$25 \pm 10$	± 3	7	0-5 B $(\Delta=20 \text{MB})$	_	_	_	_	18 B	1 мА	18 B	
					5	18 B	_	_	_	1 мА	18 B	_	0-5 B (Δ=20 мB)	
$U_{\text{пор. EN. B}}$														
					_									
	0,8	3,0	$-60 \pm 3$	±3	7	$\begin{array}{c} 0 - 5 \text{ B} \\ (\Delta = 20 \text{ mB}) \end{array}$	_		Í	_	18 B	1 мА	18 B	
					5	18 B	_	_	_	1 мА	18 B	_	0-5  B ( $\Lambda = 20 \text{ MB}$ )	
	Uпор. EN. в	Uпор. EN. в  0,8  Uпор. EN. в  0,8	Uпор. EN. в О,8 3,0  Uпор. EN. в О,8 3,0	Uпор. EN. в  0,8 3,0 125 ± 5  Uпор. EN. в  0,8 3,0 25 ± 10  Uпор. EN. в	Uпор. EN. в  0,8 3,0 125 ± 5 ± 3  Uпор. EN. в  0,8 3,0 25 ± 10 ± 3  Uпор. EN. в	Uпор. EN. в  0,8 3,0 125 ± 5 ± 3 1  8  Uпор. EN. в  0,8 3,0 25 ± 10 ± 3 7  5  Uпор. EN. в  0,8 3,0 -60 ± 3 ± 3 7	$\begin{array}{c ccccccccccccccccccccccccccccccccccc$	U <sub>πορ. EN. B</sub> 0,8  3,0  125 ± 5  ± 3  1  0 - 5 B  (Δ=20 μB)  -  U <sub>πορ. EN. B</sub> 0,8  3,0  25 ± 10  ± 3  7  0 - 5 B  (Δ=20 μB)  -  18 B  -  U <sub>πορ. EN. B</sub> 0,8  3,0  -60 ± 3  ± 3  7  0 - 5 B  (Δ=20 μB)  -  18 B  -  18 B	U <sub>πορ. EN. B</sub> 0,8  3,0  125 ± 5  ± 3  1  0 - 5 B  (Δ=20 mB)  8  7 B  -  -  -  -  -  -  -  -  -  -  -  -  -	$\begin{array}{ c c c c c c c c c c c c c c c c c c c$	$\begin{array}{c ccccccccccccccccccccccccccccccccccc$	$ \begin{array}{c ccccccccccccccccccccccccccccccccccc$	$ \begin{array}{c ccccccccccccccccccccccccccccccccccc$	$ \begin{array}{ c c c c c c c c c c c c c c c c c c c$

Продолжение таблицы 4

прооолжение то	10лицы 4														
1	2	3	4	5	6	7	8	9	10	11	12	13	14	15	16
3.6 Входное	$U_{\text{пор. EN. B}}$														
пороговое нап-															
ряжение высо-															
кого уровня по															
выводу EN, В		0,8	3,0	$125 \pm 5$	± 3	1	0-5 B ( $\Delta=20 \text{MB}$ )	_	_	_	_	18 B	1 мА	18 B	
						8	18 B	_			1 мА	18 B	_	0 - 5 B	
						0	10 D	_	_		1 MA	10 D		(Δ=20мВ)	
4.1 Входное	$U_{\text{пор. EN. H}}$														
пороговое нап-															
ряжение низко-															
го уровня по															
выводу EN, В		0,8	3,0	$25 \pm 10$	± 3	1	$\begin{array}{c} 5 - 0 B \\ (\Delta = 20 \text{ MB}) \end{array}$	7 B	_	I		7 B	—1 мА	7 B	
						8	7 B	_	_	7 B	-1 мА	7 B	_	5-0 B ( $\Delta$ =20 MB)	
4.2 Входное	$U_{\text{пор. EN. H}}$														
пороговое нап-															
ряжение низко-															
го уровня по															
выводу EN, В		0,8	3,0	$-60 \pm 3$	± 3	1	$\begin{array}{c} 5 - 0 \text{ B} \\ (\Delta = 20 \text{ MB}) \end{array}$	7 B	_	l	_	7 B	—1 мА	7 B	
						8	7 B	_	_	7 B	-1 мА	7 B	_	5 – 0 B (Δ=20 мВ)	
	<u>'</u>			•	l.		<u>'</u>				1				

Продолжение таблицы 4

1	2	3	4	5	6	7	8	9	10	11	12	13	14	15	16
4.3 Входное	$U_{\text{пор. EN. H}}$														
пороговое нап-															
ряжение низко-															
го уровня по															
выводу EN, В		0,8	3,0	$125 \pm 5$	$\pm 3$	1	5-0B	7 B	_	_	_	7 B	-1 мА	7 B	
							(∆=20мВ)								
						8	7 B	_	_	7 B	-1 мА	7 B	_	5-0B	
							-			-				(∆=20мВ)	
4.4 Входное	$U_{\text{пор. EN. H}}$														
пороговое нап-															
ряжение низко-															
го уровня по															
выводу EN, В		0,8	3,0	$25 \pm 10$	± 3	1	5-0B	18 B	_	_	_	18 B	−1 мА	18 B	
							(Δ=20 <sub>M</sub> B)								
						8	18 B	_	_	18 B	-1 мА	18 B	_	5-0 B ( $\Delta=20 \text{ MB}$ )	
4.5 Входное	$U_{\text{пор. EN. H}}$														
пороговое нап-															
ряжение низко-															
го уровня по															
выводу EN, В		0,8	3,0	$-60 \pm 3$	± 3	1	5-0B	18 B	_	_	_	18 B	−1 мА	18 B	
							(∆=20мВ)								
						8	18 B	_	_	18 B	-1 мА	18 B	_	5-0 B ( $\Delta=20 \text{ MB}$ )	
				<u> </u>			1				1	l		<u> </u>	l

р. ЕП. н

 $I_{\scriptscriptstyle BX.\;B}$ 

 $I_{BX, B}$ 

 $I_{\scriptscriptstyle BX.\;B}$ 

-1

-1

-1

3

0,8

3,0

10

15

15

4

5

 $125 \pm 5$ 

 $25 \pm 10$ 

 $-60 \pm 3$ 

 $125 \pm 5$ 

 $\pm 3$ 

 $\pm 3$ 

±3

6

8

2

4

2

4

4

8

5 - 0 B

 $(\Delta=20 \text{ MB})$ 

18 B

9

18 B

18 B

18 B

18 B

10

11

18 B

18 B

18 B

18 B

12

-1 MA

13

18 B

14

18 B -1 MA

15

18 B

 $5 - 0 \, B$ 

 $(\Delta=20 \text{ MB})$ 

16

5.1 Входной ток высокого уровня, мкА

**4**.6 Входное

пороговое напряжение низкого уровня по

выводу EN, В

5.2 Входной

ток высокого

уровня, мкА

5.3 Входной

ток высокого

уровня, мкА

6.1 Входной

ток низкого

уровня, мкА

6.2 Входной

ток низкого

уровня, мкА

воду ЕN, мкА

$I_{\text{bx. H}}$

 $I_{\text{BX. H}}$ 

 $I_{\scriptscriptstyle BX.\;H}$ 

I<sub>BX. EN. B</sub>

-10

-15

-15

-1

3

1

4

25 ± 10

 $-60 \pm 3$ 

 $125 \pm 5$ 

 $25 \pm 10$ 

5

±3

 $\pm 3$ 

 $\pm 3$ 

 $\pm 3$ 

6

2 4

4

2

4

8

7

\_

18 B

18 B

8

9

10

11

18 B

12

13

18 B

14

15

18 B

16

6.3 Входной ток низкого уровня, мкА
7.1 Входной ток высокого уровня по вы-

Продолжение то	аблицы 4														
1	2	3	4	5	6	7	8	9	10	11	12	13	14	15	16
7.2 Входной	I <sub>вх. ЕN. в</sub>														
ток высокого															
уровня по вы-															
воду EN, мкА		-1	15	$-60 \pm 3$	± 3	1	18 B	18 B	_	_	_	18 B	_	_	
						8	_	_	_	18 B	_	18 B	_	18 B	
7.3 Входной	I <sub>вх. ЕN. в</sub>														
ток высокого															
уровня по вы-															
воду EN, мкА		-1	15	$125 \pm 5$	± 3	1	18 B	18 B	_	_	_	18 B	_	_	
						8	_	_	_	18 B	_	18 B	_	18 B	
8.1 Входной	I <sub>вх. ЕП. н</sub>														
ток низкого															
уровня по вы-															
воду EN, мкА		-220	1	$25 \pm 10$	± 3	1	_	_	_	_	_	18 B	_	_	
						8	_	_	_	_	_	18 B	_	_	
8.2 Входной	I <sub>вх. ЕП. н</sub>														
ток низкого															
уровня по вы-															
воду EN, мкА		-250	1	$-60 \pm 3$	± 3	1	_	_	_	_	_	18 B	_	_	
						8	_	_	_	_	_	18 B	_	_	
	•	•		•	•		•	•		•	•	•			

1	2	3	4	5	6	7	8	9	10	11	12	13	14	15	16
8.3 Входной	I <sub>вх. ЕП. н</sub>														
ток низкого															
уровня по вы-															
воду EN, мкА		-250	1	$125 \pm 5$	± 3	1	_	_	_	_	_	18 B	_	_	
						8	_	_	_	_	_	18 B	_	_	
9.1 Выходное	$U_{{\scriptscriptstyle \mathrm{BMX.\;B}}}$												'		
напряжение															
высокого уров-															
ня, В		6,9	_	$25 \pm 10$	± 0,2	7	_	3 B	_	3 B	_	7 B	_	_	
						5	_	3 B	_	3 B	_	7 B	_	_	
9.2 Выходное	$U_{{\scriptscriptstyle \mathrm{BMX.\;B}}}$													•	
напряжение															
высокого уров-															
ня, В		6,75	_	$-60 \pm 3$	± 0,2	7	_	3 B	_	3 B	_	7 B	_	_	
						5	_	3 B	_	3 B	_	7 B	_	_	
9.3 Выходное	U <sub>вых. в</sub>														
напряжение															
высокого уров-															
ня, В		6,75	_	$125 \pm 5$	± 0,2	7	_	3 B	_	3 B	_	7 B	_	_	
						5	_	3 B	_	3 B	_	7 B	_	_	
				•									l.		

1															7
9.4 Выходное	U <sub>вых. в</sub>			'											
напряжение							1								
высокого уров-							1								
ня, В		17,9	_	$25 \pm 10$	$\pm$ 0,2	7	_	3 B	_	3 B	_	18 B	_		
					ſ	5	_	3 B	_	3 B	_	18 B	_	_	1
9.5 Выходное	U <sub>вых. в</sub>	T		,											
напряжение							1								
высокого уров-							'								
ня, В		17,75	_	$-60 \pm 3$	$\pm 0.2$	7	_	3 B	_	3 B	_	18 B	_		
						5	_	3 B	_	3 B	_	18 B	_	_	1
9.6 Выходное	U <sub>вых. в</sub>			'											
напряжение							'								
высокого уров-							1								
ня, В		17,75	_	$125 \pm 5$	$\pm 0.2$	7	- '	3 B	_	3 B	_	18 B	_	_	
					ſ	5	_	3 B	_	3 B	_	18 B	_	_	1
10.1 Выходное	$U_{{\scriptscriptstyle \mathrm{BMX.\; H}}}$														
напряжение							'								
низкого уров-							1								
ня, В		_	0,1	$25 \pm 10$	± 3	7	- '	0,8 B	_	0,8 B	_	7 B	_	_	
					ſ	5	_	0,8 B	_	0,8 B	_	7 B	_	_	1
1															

## 2

Продолжение таблицы 4

10.2 Выходное

напряжение

ня, В

ня, В

ня, В

ня, В

низкого уров-

10.3 Выходное

напряжение

напряжение

низкого уров-

10.5 Выходное

напряжение

низкого уров-

 $U_{\scriptscriptstyle \rm BMX.\,H}$ 

3

0,25

0,25

0.1

0,25

4

 $-60 \pm 3$ 

 $125 \pm 5$ 

 $25 \pm 10$ 

 $-60 \pm 3$ 

 $\pm 3$ 

5

+3

 $\pm 3$ 

6

5

5

7

5

7

5

7

8

0,8 B 0,8 B

0,8 B

0,8 B

0,8 B

0,8 B

0,8 B

0,8 B

9

10

11

0,8 B

12

13

7 B

7 B

7 B

7 B

18 B

18 B

18 B

18 B

14

15

16

низкого уров-10.4 Выходное

 $U_{\scriptscriptstyle B \text{\tiny bix. H}}$  $U_{\scriptscriptstyle B \text{\tiny bix. H}}$ 

 $U_{\scriptscriptstyle B\rm bix.\; H}$ 

Продолжение то	2	3	4	5	6	7	8	9	10	11	12	13	14	15	16
1		3	4	3	O	/	ð	9	10	11	12	13	14	13	10
10.6 Выходное	$U_{\scriptscriptstyle  m BMX.\ H}$														
напряжение															
низкого уров-															
ня, В		_	0,25	$125 \pm 5$	± 3	7	_	0,8 B	_	0,8 B	_	18 B	_	_	
						5	_	0,8 B	_	0,8 B	_	18 B	_	_	
11.1 Выходное	R <sub>вых. в</sub>														
сопротивление															
при высоком															
уровне выход-															
ного напряже-															
ния, Ом		_	2,5	$25 \pm 10$	± 3	7	_	_	-18 B	_	_	_	-50	_	
													мА		
						5	_	_	-18 B	_	–50 мА	_	_	_	
11.2 Выходное	R <sub>вых. в</sub>														
сопротивление															
при высоком															
уровне выход-															
ного напряже-															
ния, Ом		_	3,0	$-60 \pm 3$	±3	7	_	_	-18 B	_	_	_	-50	_	
													мА		
						5	_	_	-18 B	_	–50 мА	_	_	_	

1	2	3	4	5	6	7	8	9	10	11	12	13	14	15	16
11.3 Выходное	R <sub>вых. в</sub>			†											
сопротивление															
при высоком						'									
уровне выход-						'									
ного напряже-						'									
ния, Ом		_	3,0	$125 \pm 5$	± 3	7	_	_	-18 B	_	_	_	-50 мА	-	
						5	_	_	-18 B	_	-50 мА	_	_	_	
12.1 Выходное	R <sub>вых. н</sub>			†											
сопротивление						'									
при низком															
уровне выход-						'									
ного напряже-						'									
ния, Ом		_	2,0	$25 \pm 10$	± 3	7	18 B	_	_	_	_	18 B	50 мА	18 B	
						5	18 B	_	_	_	50 мА	18 B	_	18 B	
12.2 Выходное	R <sub>вых. н</sub>														
сопротивление						'									
при низком															
уровне выход-						'									
ного напряже-						'									
ния, Ом		_	2,5	$-60 \pm 3$	± 3	7	18 B	_	_	_	_	18 B	50 мА	18 B	
				J	1	5	18 B	_	_	_	50 мА	18 B	_	18 B	

1	2	3	4	5	6	7	8	9	10	11	12	13	14	15	16
12.3 Выходное	R <sub>вых. н</sub>														
сопротивление															
при низком															
уровне выход-															
ного напряже-															
ния, Ом		_	2,5	$125 \pm 5$	± 3	7	18 B	_	_	_	_	18 B	50 мА	18 B	
						5	18 B	_	_	_	50 мА	18 B	_	18 B	
13.1 Ток пот-	$I_{\text{пот. B}}$														
ребления при															
выходном нап-															
ряжении высо-															
кого уровня, мА		_	3,5	$25 \pm 10$	± 3	6	_	35 B	_	35 B	_	35 B	_	_	
13.2 Ток пот-	$I_{\text{пот. B}}$														
ребления при															
выходном нап-															
ряжении высо-															
кого уровня, мА		_	3,5	$-60 \pm 3$	± 3	6	_	35 B	_	35 B	_	35 B	_	_	
			L						L						

Продолжение та	аблицы 4														
1	2	3	4	5	6	7	8	9	10	11	12	13	14	15	16
13.3 Ток пот-	$I_{\text{пот. B}}$														
ребления при															
выходном нап-															
ряжении высо-															
кого уровня, мА		_	3,5	$125 \pm 5$	± 3	6	_	35 B	_	35 B	_	35 B	_	_	
14.1 Ток пот-	$I_{\text{пот. H}}$														
ребления при															
выходном нап-															
ряжении низко-															
го уровня, мА		_	3,5	$25 \pm 10$	± 3	6	_	_	_	_	_	35 B	_	_	
14.2 Ток пот-	$I_{\text{пот. H}}$														
ребления при															
выходном нап-															
ряжении низко-															
го уровня, мА		_	3,5	$-60 \pm 3$	± 3	6	_	_	_	_	_	35 B	_	_	
14.3 Ток пот-	$I_{\text{пот. H}}$														
ребления при															
выходном нап-															
ряжении низко-						_									
го уровня, мА		_	3,5	$125 \pm 5$	± 3	6	_	_	_	_	_	35 B	_	_	

Продолжение таблицы 4

1	2	3	4	5	6	7	8	9	10	11	12	13	14	15	16
15.1 Напряже-	U <sub>otti. UVLO</sub>														
ние отпускания															
защиты от сни-															
жения напря-															
жения питания															
(UVLO), B		6	7	$25 \pm 10$	± 1	6	_	5 B	_	_	_	5-8B	_	_	
					1							(∆=20мВ)			
						6	_	_	_	5 B	_	5-8B	_	_	
						Ŭ						(∆=20мВ)			
15.2 Напряже-	U <sub>otti. UVLO</sub>														
ние отпускания															
защиты от сни-															
жения напря-															
жения питания			_					_							
(UVLO), B		6	7	$-60 \pm 3$	± 3	6	_	5 B	_	_	_	5-8B	_	_	
								<u> </u>				(Δ=20 MB)			-
						6	_	 	_	5 B	_	5-8B	_	_	
												(∆=20мВ)			<u></u>

1	2	3	4	5	6	7	8	9	10	11	12	13	14	15	16
15.3 Напряже-	U <sub>om. UVLO</sub>														
ние отпускания															
защиты от сни-															
жения напря-															
жения питания		_	_					<b>5</b> D				<b>7</b> 0 D			
(UVLO), B		6	7	$125 \pm 5$	± 3	6	_	5 B	_	_	_	5 - 8 B ( $\Delta = 20 \text{ MB}$ )	_	_	
						6	_	_	_	5 B	_	5 – 8 B (Δ=20 мB)	_	_	
16.1 Напряже-	U <sub>cp6. UVLO</sub>											()			
ние срабатыва-	1														
ния защиты от															
снижения нап-															
ряжения пита-															
ния (UVLO), В		6	7	$25 \pm 10$	± 1	6	_	5 B	_	_	_	8–5B	_	_	
												(Δ=20 <sub>M</sub> B)			
						6	_	_	_	5 B	_	8-5 B (Δ=20 мB)	_	_	
16.2 Напряже-	U <sub>cp6. UVLO</sub>														
ние срабатыва-															
ния защиты от															
снижения нап-															
ряжения пита-		_	_			_						0 5 5			
ния (UVLO), В		6	7	$-60 \pm 3$	±3	6	_	5 B	_	_	_	8–5B	_	_	
												(Δ=20 <sub>M</sub> B)			
						6	_	_	_	5 B	_	8–5B	_	_	
												(∆=20мВ)			
				•				•		•				,	

1	2	3	4	5	6	7	8	9	10	11	12	13	14	15	16
16.3 Напряже-	U <sub>cp6. UVLO</sub>														
ние срабатыва-															
ния защиты от															
снижения нап-															
ряжения пита-															
ния (UVLO), B		6	7	$125 \pm 5$	$\pm 3$	6	_	5 B	_	_	_	8–5B	_	_	
												(Δ=20мВ)			
						6	_	_	_	5 B	_	8-5 B (Δ=20 <sub>M</sub> B)	_	_	
17.1 Время за-	t <sub>зд. р. выкл</sub>														2,
держки расп-															3
ространения															
при выключе-															
нии, нс		_	50	$25 \pm 10$	±10	7	_	工	_	工	_	18 B	_	_	
						5	_		_	工	_	18 B	_	_	
18.1 Время за-	t <sub>зд. р. вкл</sub>														2,
держки расп-															3
ространения															
		_	50	$25 \pm 10$	±10	7	_	工	_		_	18 B	_	_	
при включе-						5	_		_	工	_	18 B	_	_	

1	,
1	2
19.1 Время на-	t <sub>нар. вых</sub>

растания вы-

ходного сигна-

ребления), мА

 $25 \pm 10$ 

±10

 $\Box$ 

 $\bot$ 

18 B

ла, нс						5	_	7	_	7_	_	18 B	_	_	
20.1 Время спа-	t <sub>сп. вых</sub>														2,
да выходного															3
сигнала, нс		_	16	$25 \pm 10$	±10	7	_	工	_	工	_	18 B	_	_	
						5	_	7	_	7.	_	18 B	_	_	
21.1 Функцио-	$I_{\text{пот. дин}}$														4
нальный кон-															
троль (динами-		_	24	$25 \pm 10$	± 3	6	_		_	工	_	10 B	_	_	
ческий ток пот-															
ребления), мА															
21.2 Функцио-	$I_{\text{пот. дин}}$														4
нальный кон-															
троль (динами-		_	24	$-60 \pm 3$	± 3	6	_		_		_	10 B	_	_	
ческий ток пот-															

Окончание таблицы 4

1	2	3	4	5	6	7	8	9	10	11	12	13	14	15	16
21.3 Функцио-	$I_{\text{пот. дин}}$														4
нальный кон-															
троль (динами-		_	24	$125 \pm 5$	± 3	6	_	工	_	工	_	10 B	_	_	
ческий ток пот-															
ребления), мА															

 $\Delta$ - отклонение измеряемого параметра от некоторого среднего значения этой величины.

Примечания

1 Измерения проводятся в импульсном режиме с длительностью сигнала  $\tau \leq 20$  мкс и малым коэффициентом заполнения для обеспечения  $T_n \approx T_c$ , где  $T_n$  — температура перехода,  $T_c$  — температура окружающей среды,  $U_{\text{вх. H}} = (0-0.5)$  В,  $U_{\text{вх. B}} = (12-15)$  В.

- 2 Измерения проводятся при малой частоте следования импульсов для обеспечения  $T_\pi \approx T_c$ .
- 3 Определение t<sub>зд. р. выкл</sub>, t<sub>зд. р. вкл</sub>, t<sub>нар. вых</sub>, t<sub>сп. вых</sub> проводят согласно рисунку 20. 4 При проведении функционального контроля контролируется динамический ток потребления I<sub>пот. дин</sub>.
- The second of the second secon

Таблица 5

та		Порядков	вые номера параметров в ствии с таблицей 4	в соответ-	Методы і	испытания	ункта ания
Группа испытания	Вид и последовательность испытаний	перед ис-	в процессе испытания	после испытания	Метод по ОСТ 11 073.013	Пункт ТУ	Номер пункта примечания
1	2	3	4	5	6	7	8
K-1 C-1	Проверка внешнего вида и маркировки	-	_	_	405–1.3 ΓΟСТ 30668 407-1	3.3.3.2 3.3.9.1	
K-2 C-2	Проверка габаритных, установочных и присоединительных размеров	_	Размеры по ГЧ	_	404-1	3.3.3.1	
K-3 C-3	Проверка статических параметров (параметров постоянного тока), отнесенных к категории С, при: - нормальных климатических условиях	_	1.1, 1.4, 2.1, 2.4, 3.1, 3.4, 4.1, 4.4, 5.1, 6.1, 7.1, 8.1, 9.1, 9.4, 10.1, 10.4, 11.1, 12.1, 13.1, 14.1, 15.1, 16.1	_	500-1	3.3.4	

Продолжение таблицы 5

1	2	3	4	5	6	7	8
К-3	- пониженной рабочей тем-		1.2, 1.5, 2.2, 2.5, 3.2,				
	пературе среды		3.5, 4.2, 4.5, 5.2, 6.2,				
			7.2, 8.2, 9.2, 9.5, 10.2,		203-1		
			10.5, 11.2, 12.2, 13.2,				
			14.2, 15.2, 16.2				
К-3	-повышенной рабочей темпе-	_		_		3.3.4	
C-3	ратуре среды		1.3, 1.6, 2.3, 2.6, 3.3,			3.3.1	
			3.6, 4.3, 4.6, 5.3, 6.3,				
			7.3, 8.3, 9.3, 9.6, 10.3,		201-2.1		1
			10.6, 11.3, 12.3, 13.3,				
			14.3, 15.3, 16.3				
К-3	Функциональный контроль			_			
C-3	при:		21.1				
	- нормальных климатиче-		21.1				
	ских условиях				500-7	3.3.4	
К-3	- повышенной рабочей тем-						
C-3	пературе среды		21.3				1

1	2	3	4	5	6	7	8
К-4 П-2	Испытание на воздействие пониженной рабочей температуры среды	11.1, 12.1,	Рисунок 5, таблица 10	11.1, 12.1,	203-1	3.3.6.1	
	Испытание на воздействие повышенной рабочей температуры среды	13.1, 14.1		13.1, 14.1	201-2.1	3.3.6.2	
	Проверка электрических параметров, отнесенных к категории П, при нормальных климатических условиях	_	1.1, 1.4, 2.1, 2.4, 3.4, 4.1, 4.4, 5.1, 6.1, 7.1, 8.1, 9.1, 9.4, 10.1, 10.4, 11.1, 12.1, 13.1, 14.1, 15.1, 16.1	_	500-1	3.3.4	
	Функциональный контроль при: - нормальных климатических условиях - повышенной рабочей температуре среды	-	21.1 21.3	_	500-7	3.2.5	

2	3	4	5	6	7	8
Проверка электрических па-	_	1.1, 1.4, 2.1, 2.4, 3.1, 3.4,	_	500-1	3.3.4	
		4.1, 4.4, 5.1, 6.1, 7.1, 8.1,				
		9.1, 10.1, 11.1, 11.4, 12.1,				2
		12.4, 13.1, 14.1, 15.1, 16.1,				
климатических условиях		17.1, 18.1				
Испытание на воздействие		_		205-1	3.3.6.3	
изменения температуры сре-				5 циклов		3
ды						
Испытание на воздействие		_		107-1	3.3.5.5	
линейного ускорения	11.1, 12.1,		11.1, 12.1,			
Испытание на воздействие	13.1, 14.1	_	13.1, 14.1	106-1	3.3.5.3	
одиночных ударов						
Испытание на воздействие		_		208-2	3.3.3.9	
повышенной влажности воз-				4 суток		
духа (кратковременное)				·		
Испытание на безотказность	11.1, 12.1,	Рисунок 6,	11.1, 12.1,	700-1	3.3.7.1	
	13.1, 14.1	таблица 11	13.1, 14.1	500 ч		
	Проверка электрических параметров, отнесенных к категории К, при нормальных климатических условиях Испытание на воздействие изменения температуры среды Испытание на воздействие линейного ускорения Испытание на воздействие одиночных ударов Испытание на воздействие повышенной влажности воздуха (кратковременное)	Проверка электрических параметров, отнесенных к категории К, при нормальных климатических условиях  Испытание на воздействие изменения температуры среды  Испытание на воздействие линейного ускорения  Испытание на воздействие одиночных ударов  Испытание на воздействие повышенной влажности воздуха (кратковременное)  Испытание на безотказность  11.1, 12.1,	Проверка электрических параметров, отнесенных к категории К, при нормальных климатических условиях  Испытание на воздействие изменения температуры среды  Испытание на воздействие линейного ускорения  Испытание на воздействие одиночных ударов  Испытание на воздействие повышенной влажности воздуха (кратковременное)  Испытание на безотказность  — 11.1, 1.4, 2.1, 2.4, 3.1, 3.4, 4.1, 4.4, 5.1, 6.1, 7.1, 8.1, 9.1, 10.1, 11.1, 11.4, 12.1, 12.4, 13.1, 14.1, 15.1, 16.1, 17.1, 18.1  — 11.1, 1.2, 1, 12.1, 12.1, 13.1, 14.1  — 11.1, 1.4, 2.1, 2.4, 3.1, 3.4, 4.1, 4.4, 5.1, 6.1, 7.1, 8.1, 9.1, 10.1, 11.1, 11.4, 12.1, 12.4, 13.1, 14.1, 15.1, 16.1, 17.1, 18.1  — 11.1, 1.4, 2.1, 2.4, 3.1, 3.4, 4.1, 4.4, 5.1, 6.1, 7.1, 8.1, 9.1, 10.1, 11.1, 11.4, 12.1, 12.4, 13.1, 14.1, 15.1, 16.1, 17.1, 18.1  — 11.1, 1.4, 2.1, 2.4, 3.1, 3.4, 4.1, 4.4, 5.1, 6.1, 7.1, 8.1, 9.1, 10.1, 11.1, 11.4, 12.1, 12.4, 13.1, 14.1, 15.1, 16.1, 17.1, 18.1  — 11.1, 1.4, 2.1, 2.4, 3.1, 3.4, 4.1, 4.4, 5.1, 6.1, 7.1, 8.1, 9.1, 10.1, 11.1, 11.4, 12.1, 12.4, 13.1, 14.1, 15.1, 16.1, 17.1, 18.1  — 11.1, 1.4, 2.1, 2.4, 3.1, 3.4, 4.1, 4.4, 5.1, 6.1, 7.1, 8.1, 9.1, 10.1, 11.1, 11.4, 12.1, 12.4, 13.1, 14.1, 15.1, 16.1, 17.1, 18.1  — 11.1, 1.4, 2.1, 2.4, 3.1, 3.4, 4.1, 4.4, 5.1, 6.1, 7.1, 8.1, 9.1, 10.1, 11.1, 11.1, 12.1, 12.4, 13.1, 14.1, 15.1, 12.1, 12.4, 13.1, 14.1, 15.1, 12.1, 12.4, 13.1, 14.1, 15.1, 12.	Проверка электрических параметров, отнесенных к категории К, при нормальных климатических условиях  Испытание на воздействие изменения температуры среды  Испытание на воздействие линейного ускорения  Испытание на воздействие одиночных ударов  Испытание на воздействие одиночных ударов  Испытание на воздействие повышенной влажности воздуха (кратковременное)  Испытание на безотказность  11.1, 12.1, 14.1, 2.1, 2.4, 3.1, 3.4, 4.1, 4.4, 5.1, 6.1, 7.1, 8.1, 9.1, 10.1, 11.1, 11.4, 12.1, 12.4, 13.1, 14.1, 15.1, 16.1, 17.1, 18.1  — 11.1, 12.1, 12.1, 12.1, 13.1, 14.1  — 11.1, 12.1, 13.1, 14.1  — 11.1, 12.1, 13.1, 14.1	Проверка электрических параметров, отнесенных к категории К, при нормальных климатических условиях  Испытание на воздействие изменения температуры среды  Испытание на воздействие линейного ускорения  Испытание на воздействие одиночных ударов  Испытание на воздействие повышенной влажности воздуха (кратковременное)  Испытание на безотказность  Проверка электрических парамения дальных дальных категории К, при нормальных	Проверка электрических параметров, отнесенных к категории К, при нормальных климатических условиях  Испытание на воздействие изменения температуры среды  Испытание на воздействие одиночных ударов  Испытание на воздействие повышенной влажности воздуха (кратковременное)  Испытание на безотказность 11.1, 12.1, Рисунок 6, 11.1, 12.1, 700-1 3.3.7.1

1	2	3	4	5	6	7	8
K-7	Проверка качества и прочно-	_	Оценка маркировки	_		3.3.9.1	5
П-4	сти нанесения маркировки				407-1	3.3.9.2	3
	Испытание на способность к	_	_	_	411-1	3.3.3.8	
	пайке				ГОСТ РВ		
					20.57.416		
	Испытание на теплостой-	Внешний		Внешний	411-1	3.3.3.8	
	кость при пайке	вид микро-	_	вид микро-			
	***	схемы,		схемы,	20.57.416	2 2 2 5	
	Испытание на герметичность	11.1, 12.1, 13.1, 14.1	_	11.1, 12.1, 13.1, 14.1	401-2.1	3.3.3.5	4
TC 0	***	13.1, 14.1		13.1, 14.1	401-7	2 2 2 11	
K-8	Испытание упаковки	11.1, 12.1,	ICIT	11.1, 12.1,	404-2	3.3.3.11	
		13.1, 14.1	см. комплект КД	13.1, 14.1	408-1.4 ГОСТ 23 088		
К-9	Испытание на вибропроч-				103-1.3	3.3.5.2	
П-5	ность						
11-3			D 2.2	-	102.1	2 2 5 1	4
	Испытание на виброустойчи-	11 1 12 1	Рисунок 2, 3, таблица 8	11 1 12 1	102-1	3.3.5.1	
	вость	11.1, 12.1, 13.1, 14.1	таолица о	11.1, 12.1, 13.1, 14.1			
	Испытание на ударную	13.1, 17.1	-	13.1, 17.1	104-1	3.3.5.4	
	прочность (многократные						
	удары)						

1	2	3	4	5	6	7	8
K-10	Проверка массы	_	Macca	_	406-1	3.3.3.3	
	Испытание на воздействие				210-1	3.3.6.5	
	атмосферного повышенного		_				
	давления	11.1, 12.1,		11.1, 12.1,			
	Испытание на воздействие	13.1, 14.1	Рисунок 2, 3,	13.1, 14.1	209-1	3.3.6.4	
	атмосферного пониженного		таблица 8				
	давления						
К-11	Испытание на долговечность	11.1, 12.1, 13.1, 14.1	Рисунок 6,	11.1, 12.1, 13.1, 14.1	700-2.2 700-2.1	3.3.7.3 3.3.7.2	
П-6		13.1, 14.1	таблица 11	13.1, 14.1	700-2.1	3.3.7.2	
К-12	Испытание на воздействие		Рисунок 4,		207-2	3.3.6.6	
	повышенной влажности воз-		таблица 9				
	духа (длительное)						
K-15	Испытание на способность	_	_	_	409-1	3.3.3.11	
	вызывать горение						
	Испытание на горючесть				409-2		

#### Окончание таблицы 5

Cx	Испытание на сохраняемость	_	_	_	ГОСТ	3.3.8	
					21493		

Примечания

- 1 Проверку статических параметров, отнесенных к категории C при повышенной температуре среды проводят при температуре окружающей среды  $(25\pm3)$   $^{\circ}C$ .
- 2 Допускается при непрерывном цикле испытаний совмещать проверку электрических параметров перед какимлибо испытанием с такой же проверкой после предыдущего испытания.
- 3 Испытания на воздействие изменения температуры среды допускается проводить однокамерным методом (метод 205-2 ГОСТ 20.57.406), время достижения теплового равновесия 10 минут.
- 4 Для микросхем K5342EX014 испытания на герметичность группы K-7 (П4) и испытания на вибропрочность и виброустойчивость группы K-9 (П-5) не проводят. Вместо испытаний на герметичность проводят испытания на воздействие повышенной влажности воздуха (кратковременное).
- 5 Испытание маркировки на стойкость к воздействию очищающих растворителей не проводят на микросхемах, у которых маркировка нанесена лазерной гравировкой.

## 3.3.3 Проверка конструкции

размеров проводят по методу 404-1 ОСТ 11 073 на соответствие УКВД.430109.607ГЧ, УКВД.430109.569ГЧ.

3.3.3.1 Проверку общего вида, габаритных, установочных и присоединительных

Погрешность измерения не более 0,01 мм.

3.3.3.2 Проверку внешнего вида проводят по методу 405-1.3 ОСТ 11 073.013.

на малые течи по методу 401-2.1;

на большие течи по методу 401-7.

гламентируется (монолитный корпус).

Проверку элементов конструкции проводят при увеличении 16<sup>X</sup>.

3.3.3.3 Проверку массы микросхем проводят по методу 406-1 ОСТ 11 073.013.

3.3.3.5 Проверку герметичности микросхем проводят по ОСТ 11 073.013:

3.3.3.6 Проверку прочности внешних выводов на растяжение не проводят.

Проверку выводов на теплостойкость при пайке проводят по методу

3.3.3.8 Проверку выводов на способность к пайке проводят по методу 411-1

3.3.3.9 Проверку коррозионной стойкости микросхем проводят по методу 208-2

Показатель герметичности микросхем в металлополимерных корпусах не ре-

411-1

ОСТ 11 073.013 без покрытия лаком. 3.3.3.10 Проверку нумерации внешних выводов совмещают с проверкой элек-

3.3.3.7 Ускоренное старение не проводят.

- трических параметров.
  - 3.3.3.11 Испытание микросхем на способность вызывать горение проводят по
- методу 409-1 ОСТ 073.013.
  - Время выдержки микросхем в нормальных климатических условиях 1 ч.
- Время выдержки микросхем в камере тепла при повышенной рабочей температуре среды – 30 мин.

ГОСТ РВ 20.57.416.

ГОСТ РВ 20.57.416.

Пламя горелки прикладывается к торцевой поверхности микросхем в течение (10±2) с.

3.3.3.12 Испытание микросхем на горючесть проводят по методу 409-2

OCT 11 073.013.

Птога

раметра.

Пламя горелки прикладывают к верхней поверхности корпуса. Время приложения пламени – 5 с.

### 3.3.4 Проверка электрических параметров

OCT 11 073.013, в режимах и условиях, указанных в таблице 4.

Суммарная погрешность измерения электрических параметров, установленная

3.3.4.1 Измерение электрических параметров проводят по методу 500-1

в таблице 4, определяется погрешностью установки испытательных режимов, погрешностью измерения физической величины параметра (напряжения, тока и т.п.), другими составляющими погрешности. Знак «минус» перед значениями токов указывает направление и соответствует току, вытекающему из микросхемы. Нормы параметров напряжений и токов («не менее», «не более») установлены с учетом знака па-

Годными считаются микросхемы, значения измеряемых параметров которых соответствует указанным в таблице 4.

3.3.4.2 Измерение входного тока высокого уровня  $I_{\text{вх. в}}$  и входного тока низкого уровня  $I_{\text{вх. н}}$  проводят согласно ГОСТ 18683.1 (пункт 2) в режимах и условиях, указанных в таблице 4 по схеме измерения, приведенной на рисунке 10.

3.3.4.3 Функциональный контроль микросхем совмещается с измерением статических параметров по группе испытаний К3, К4.

### 3.3.5 Проверка устойчивости при механических воздействиях

3.3.5.1 Испытания на виброустойчивость проводят по методу 102-1 OCT 11 073.013 по XII степени жесткости.

Схема включения при испытаниях приведена на рисунке 3.

- ОСТ 11 073.013 по XII степени жесткости.
- 3.3.5.3 Испытание на воздействие одиночных ударов проводят по методу 106-1

OCT 11 073.013. Степень жесткости – III.

Испытание

3.3.5.2

- 3.3.5.4 Испытания на воздействие многократных ударов проводят по методу 104-1 ГОСТ 11 073.013. Степень жесткости IV.
- 3.3.5.5 Испытание на воздействие линейных нагрузок проводят по методу
- OCT 11 073.013. Степень жесткости VI.

# 3.3.6 Проверка устойчивости при климатических воздействиях

на вибропрочность проводят по

3.3.6.1 Испытание на воздействие пониженной рабочей температуры среды

103-1.3

методу

Микросхемы помещают в камеру с заранее установленной пониженной рабочей

проводят по методу 203-1 ОСТ 11 073.013.

температурой среды. Время выдержки при пониженной рабочей температуре при проведении отбра-

ковочных и приемо-сдаточных испытаний 30 мин.

- 3.3.6.2 Испытание на устойчивость при повышенной рабочей температуры среды проводят по методу 201-2.1 ОСТ 11 073.013.
  - Схема включения при испытаниях приведена на рисунке 5.
  - 3.3.6.3 Испытание на устойчивость к изменению температуры среды проводят
- Количество циклов 5.

  Испытание на повышенную предельную и пониженную предельную температуру среды не проводят, а совмещают с испытанием на воздействие изменения тем-

по методу 205-1 ОСТ 11 073.013. Время выдержки при каждой температуре – 15 мин.

- пературы среды.

  3.3.6.4 Испытание на воздействие атмосферного пониженного давления проводят по методу 209-1 ОСТ 11 073.013.
- Схема включения при испытании приведена на рисунке 2.

- 3.3.6.5 Испытание на воздействие атмосферного повышенного давления проводят по методу 210-1 ОСТ 11 073.013.
   3.3.6.6 Испытание на воздействие повышенной влажности воздуха (длительное)
- проводят по методу 207-2 ОСТ 11 073.013 с покрытием тремя слоями влагозащитного лака в течение 21 суток при температуре 40 °C под электрической нагрузкой.

3.3.7.1 Испытание на безотказность проводят по методу 700-1 ОСТ 11.073.013

# 3.3.7 Проверка надежности

- при температуре 125°C в предельно-допустимых режимах эксплуатации.
- Схема включения при испытании приведена на рисунке 6, таблица 11.
  - 3.3.7.2 Испытание на долговечность по группе П-6 проводят по методу

700-2.1 ОСТ 11 073.013 в течение 1000 часов. Схема включения при испытании при-

- ведена на рисунке 6, таблица 11.
- 3.3.7.3 Испытание на долговечность по группе K-11 проводят по методу 700-2.2 ОСТ 11 073.013 при нормальных климатических условиях.

### 3.3.8 Проверка на соответствие требованиям сохраняемости

Проверку на соответствие требованиям сохраняемости проводят по ГОСТ 21493.

## 3.3.9 Проверка маркировки

ГОСТ 30668.
3.3.9.2 Проверку стойкости маркировки к воздействию очищающих раствори-

3.3.9.1 Проверка качества и содержания маркировки проводят по методу 407-1

3.3.9.2 Проверку стойкости маркировки к воздействию очищающих растворителей проводят по методу 407-3 ГОСТ 30668 на микросхемах, у которых маркировка нанесена краской.

Проверку стойкости к воздействию очищающих растворителей не проводят на микросхемах, у которых маркировка нанесена лазерной гравировкой.

3.3.9.3 Проверку требования стойкости микросхем к воздействию моющих средств проводят погружением микросхем, у которых маркировка нанесена краской,

Микросхемы считаются выдержавшими испытание, если после испытания мар-

в спирто-бензиновую смесь (1:1) при температуре (23+5) °C на время  $(5,0\pm0,5)$  мин. После изъятия из растворителя микросхемы выдерживают в нормальных кли-

матических условиях по ГОСТ 20.57.406 в течение времени от 1 до 2 ч.

документации, а значение электрических параметров-критериев годности — нормам категории «С».

кировка разборчива и соответствует образцам внешнего вида, ТУ и конструкторской

Проверку требования по стойкости микросхем к воздействию моющих средств не проводят на микросхемах, у которых маркировка нанесена лазерной гравировкой.

### 3.3.10 Проверка упаковки

нарушающие целостности упаковки.

408-1.4 ΓΟCT 23088.

3.3.10.1 Испытание упаковки проводят по методу 404-2 ГОСТ 23088.

Испытание упаковки на прочность при свободном падении проводят по методу

При испытании по группе К-8 потребительской индивидуальной (групповой) тары допускаются незначительные надрывы, наколы, вмятины на бандероли, не

### 5 Указание по применению и эксплуатации

5.1 Указания по применению и эксплуатации микросхем – по ГОСТ 18725.

Число допускаемых перепаек выводов микросхем при проведении монтажных

- 5.2 Допустимое значение статического потенциала 1000 В.
- 5.5 Микросхемы пригодны для монтажа в аппаратуре методом пайки. Прово-
- дить монтаж микросхем только в обесточенном состоянии.
- (сборочных) операций не более 3-х.

  Способы и режимы пайки представлены в таблице 6.
  - спососы и режимы панки представлены в таслице о.
  - Режим и условия монтажа микросхем в аппаратуре по ОСТ 11 073.063.

Таблица 6 – Способы и режимы пайки микросхем

	Режим	ы пайки
Способ пайки микросхем	Максимальная	Максимальное
	температура, °С	время воздействия, с
Пайка расплавлением доз паяльных		
паст ИК-излучением:		
- предварительный нагрев;	150	120
- нагрев при пайке	240	8
Пайка расплавлением доз паяльных		
паст в паровой фазе жидкости-тепло-		
носителе:		
- предварительный нагрев;	165	10
- нагрев при пайке	240	30

### 6 Справочные данные

Справочные данные – по ГОСТ 18725 с дополнениями и уточнениями, приведенными в настоящем разделе.

6.1 Зависимости основных электрических параметров микросхем от режимов и условий эксплуатации приведены на рисунках 16-45.

Графические зависимости основных электрических параметров, приведенных на рисунках 21-50, определяют характер их изменения в зависимости от режимов и условий применения микросхем и не устанавливают граничных значений этих параметров.

- 6.2 Собственная резонансная частота микросхем K5342EX014, K5342EX015 в диапазоне частот от 100 Гц до 20 000 Гц отсутствует.
- 6.3 Наработку микросхем в режимах и условиях, установленных настоящим стандартом и техническими условиями, должна быть не менее 50000 ч, а в облегченных режимах, которые приводят в ТУ, не менее 60000 ч.
- 6.4 Предельно допустимая температура p-n перехода кристалла не более 150 °C.
  - 6.5 Тепловое сопротивление кристалл-корпус:
    - не более 15 °C/Вт для микросхем К5342EX014;
    - не более 15 °C/Вт для микросхем К5342EX015.

6.6 Сведения о применении в микросхеме драгоценных и цветных металлов с указанием их номенклатуры и количества приведены в этикетке, прилагаемой к упакованным микросхемам.

### 7 Гарантии предприятия-изготовителя

- 7.1 Гарантии предприятия-изготовителя по ГОСТ 18725.
- 7.2 Гарантийный срок хранения 10 лет со дня изготовления.
- 7.3 Гарантийная наработка 50000 ч. в пределах гарантийного срока хранения.

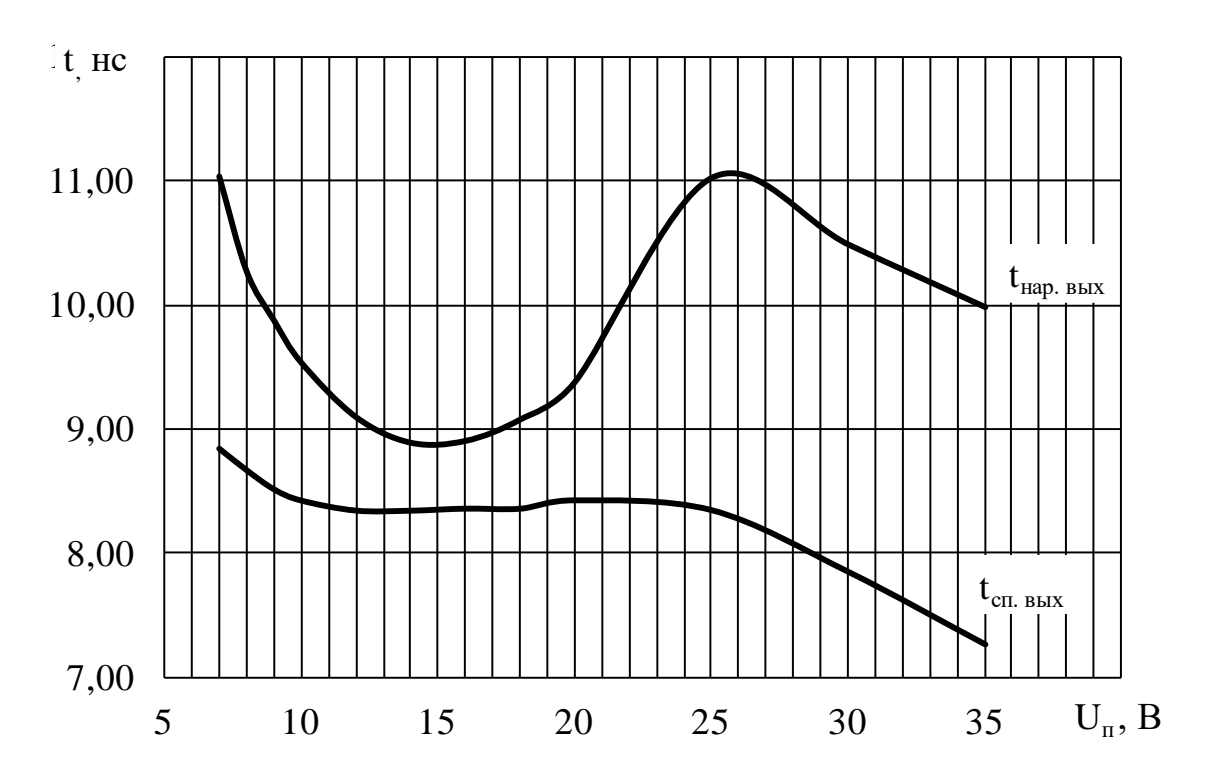


Рисунок 16— Зависимости времени нарастания выходного сигнала  $t_{\text{нар. выкл}}$  и времени спада выходного сигнала  $t_{\text{сп. вкл}}$  от напряжения питания  $U_{\pi}$  при емкости нагрузки  $C_{\text{н}} = 470~\text{п}\Phi$  при температуре окружающей среды  $T_{\text{c}} = (25 \pm 10)~^{\circ}\text{C}$ 

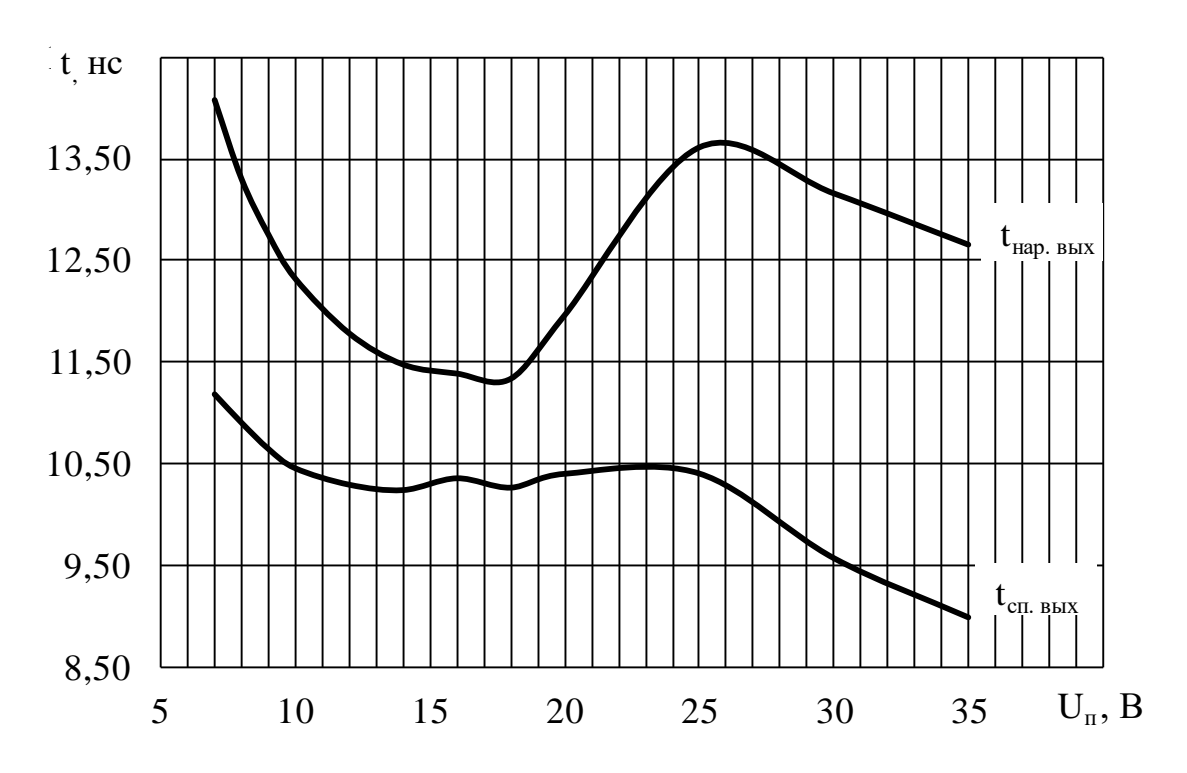


Рисунок 17 — Зависимости времени нарастания выходного сигнала  $t_{\text{нар. выкл}}$  и времени спада выходного сигнала  $t_{\text{сп. вкл}}$  от напряжения питания  $U_{\text{п}}$  при емкости нагрузки  $C_{\text{н}}=1$  н $\Phi$  при температуре окружающей среды  $T_{\text{c}}=(25\pm10)$  °C

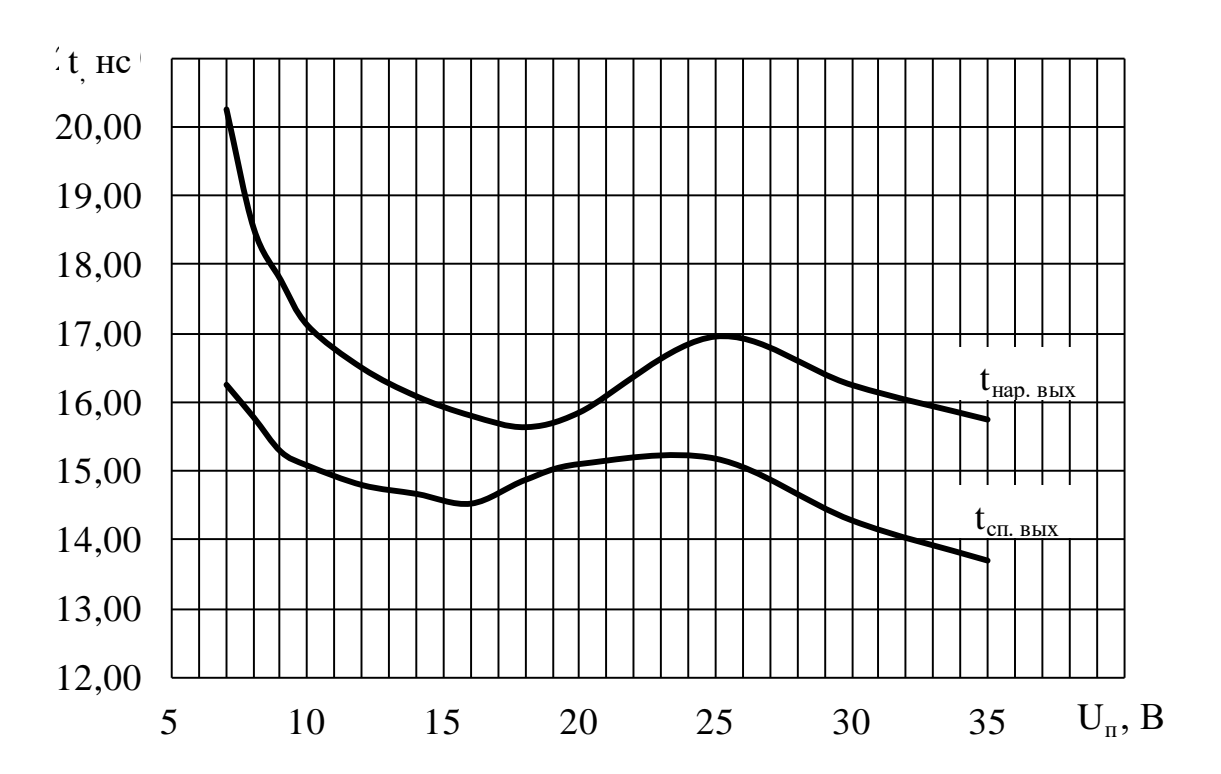


Рисунок 18-3ависимости времени нарастания выходного сигнала  $t_{\text{нар. выкл}}$  и времени спада выходного сигнала  $t_{\text{сп. вкл}}$  от напряжения питания  $U_{\text{п}}$  при емкости нагрузки  $C_{\text{н}}=1,8$  нФ при температуре окружающей среды  $T_{\text{c}}=(25\pm10)$  °C

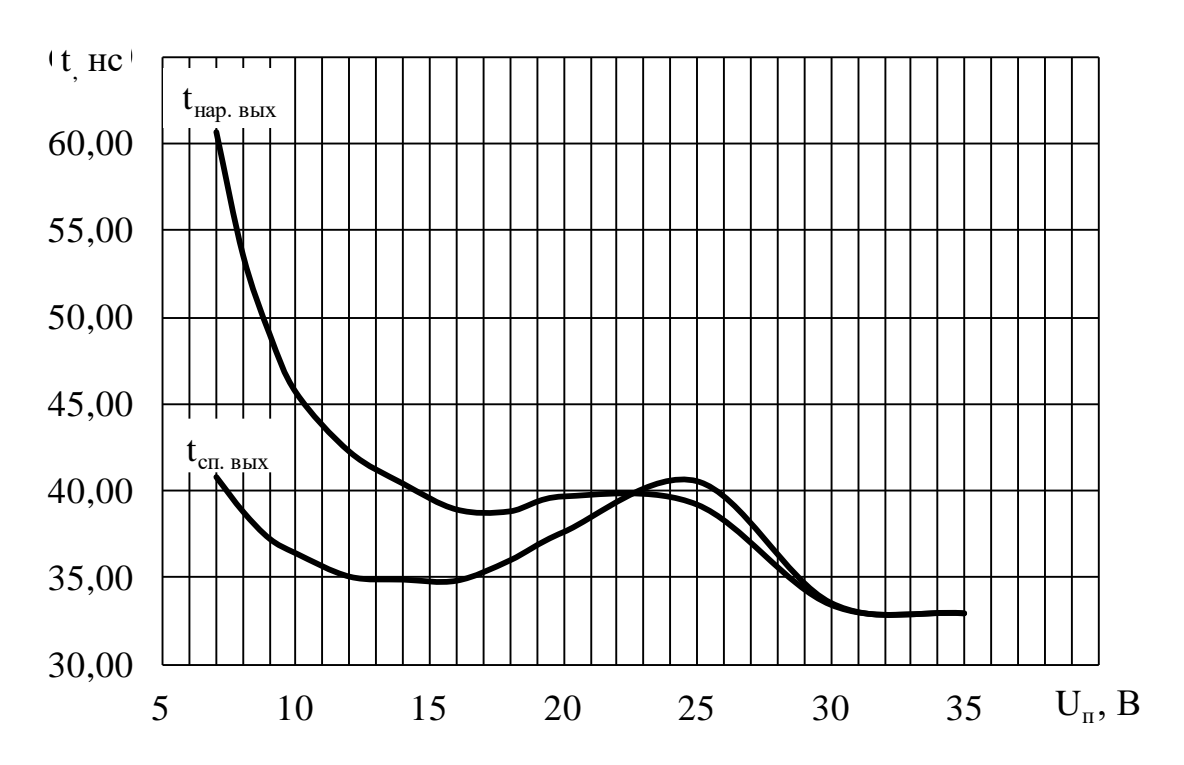


Рисунок 19 — Зависимости времени нарастания выходного сигнала  $t_{\text{нар. выкл}}$  и времени спада выходного сигнала  $t_{\text{сп. вкл}}$  от напряжения питания  $U_{\pi}$  при емкости нагрузки  $C_{\text{н}} = 6.8$  нФ при температуре окружающей среды  $T_{\text{c}} = (25 \pm 10)$  °C

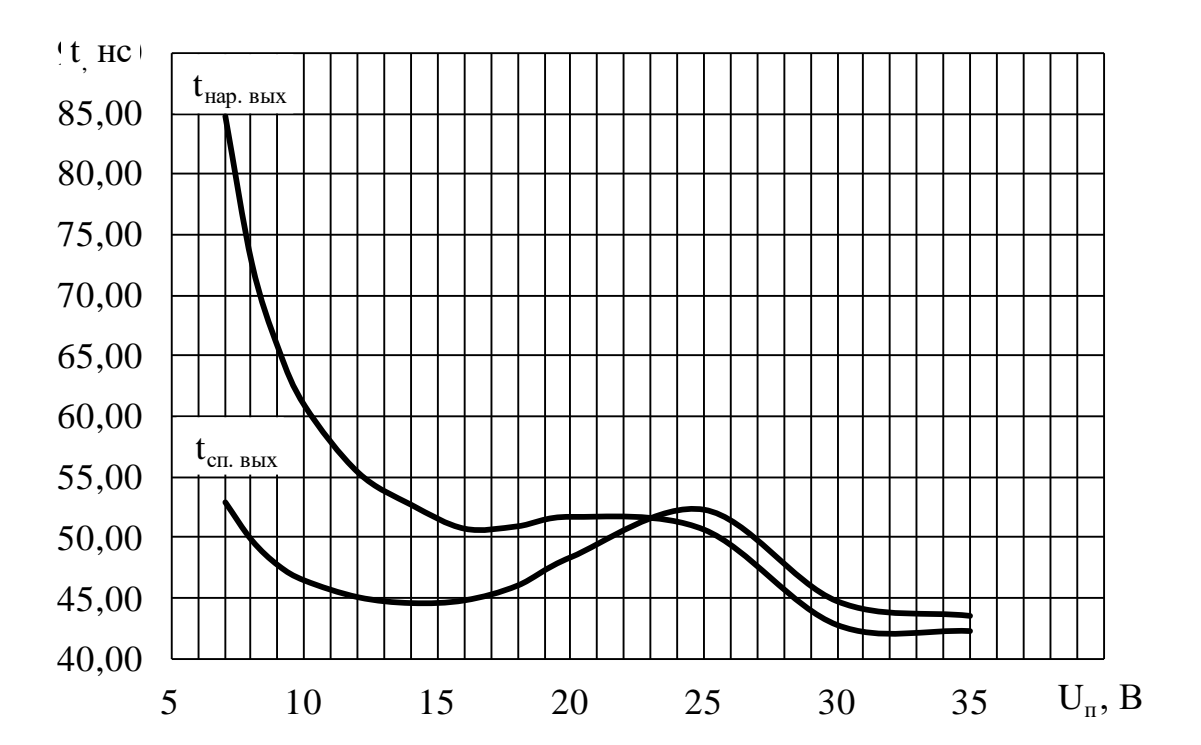


Рисунок 20-3ависимости времени нарастания выходного сигнала  $t_{\text{нар. выкл}}$  и времени спада выходного сигнала  $t_{\text{сп. вкл}}$  от напряжения питания  $U_{\text{п}}$  при емкости нагрузки  $C_{\text{н}}=10$  нФ при температуре окружающей среды  $T_{\text{c}}=(25\pm10)$  °C

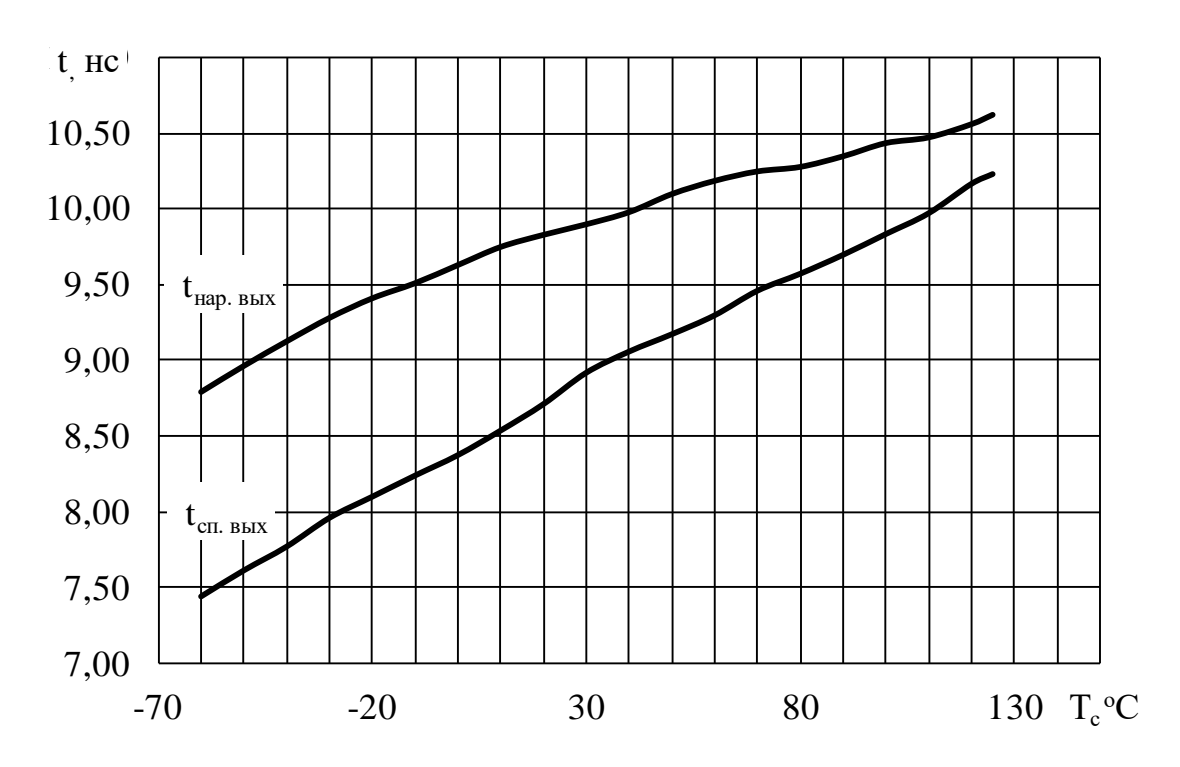


Рисунок 21-3ависимости времени нарастания выходного сигнала  $t_{\text{нар. выкл}}$  и времени спада выходного сигнала  $t_{\text{сп. вкл}}$  от температуры окружающей среды  $T_c$  при емкости нагрузки  $C_{\text{н}}=1$  нФ и напряжении питания  $U_{\text{п}}=18$  В

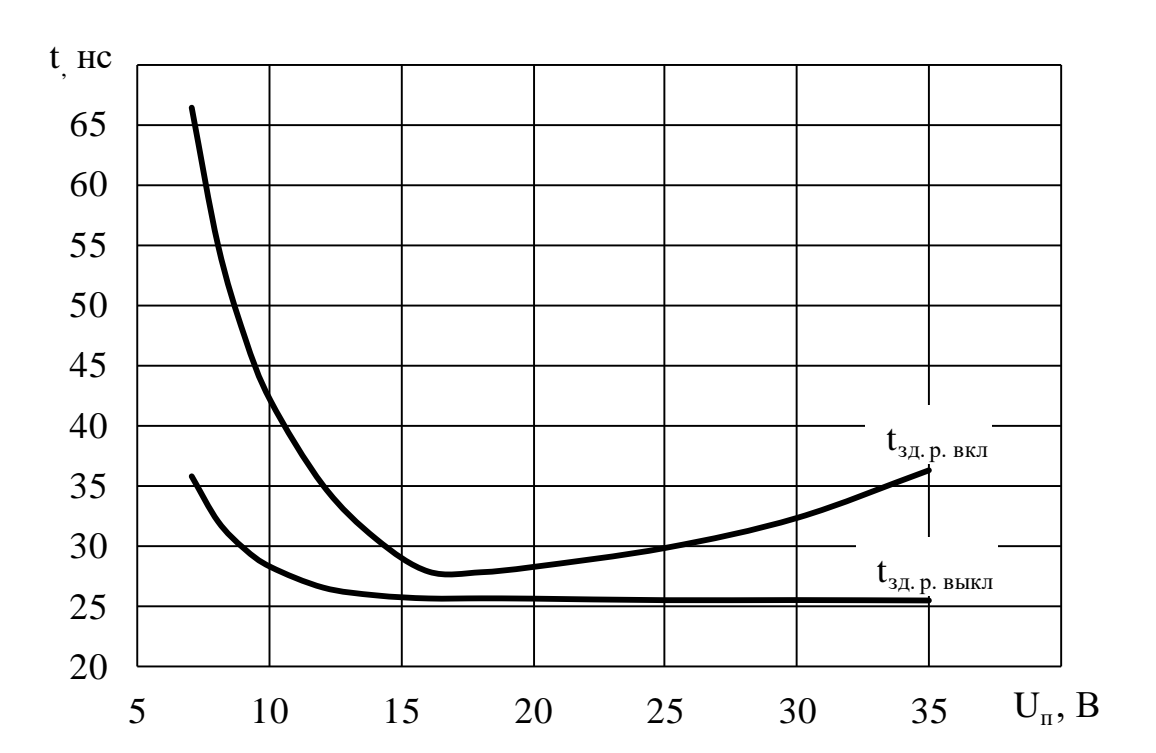


Рисунок 22-3ависимости времени задержки распространения при выключении  $t_{_{3Д.\, р.\, выкл}}$  и включении  $t_{_{3Д.\, р.\, вкл}}$  от напряжения питания  $U_{_{\Pi}}$  при емкости нагрузки  $C_{_{H}}=1$  нФ при температуре окружающей среды  $T_{c}=(25\pm10)$  °C

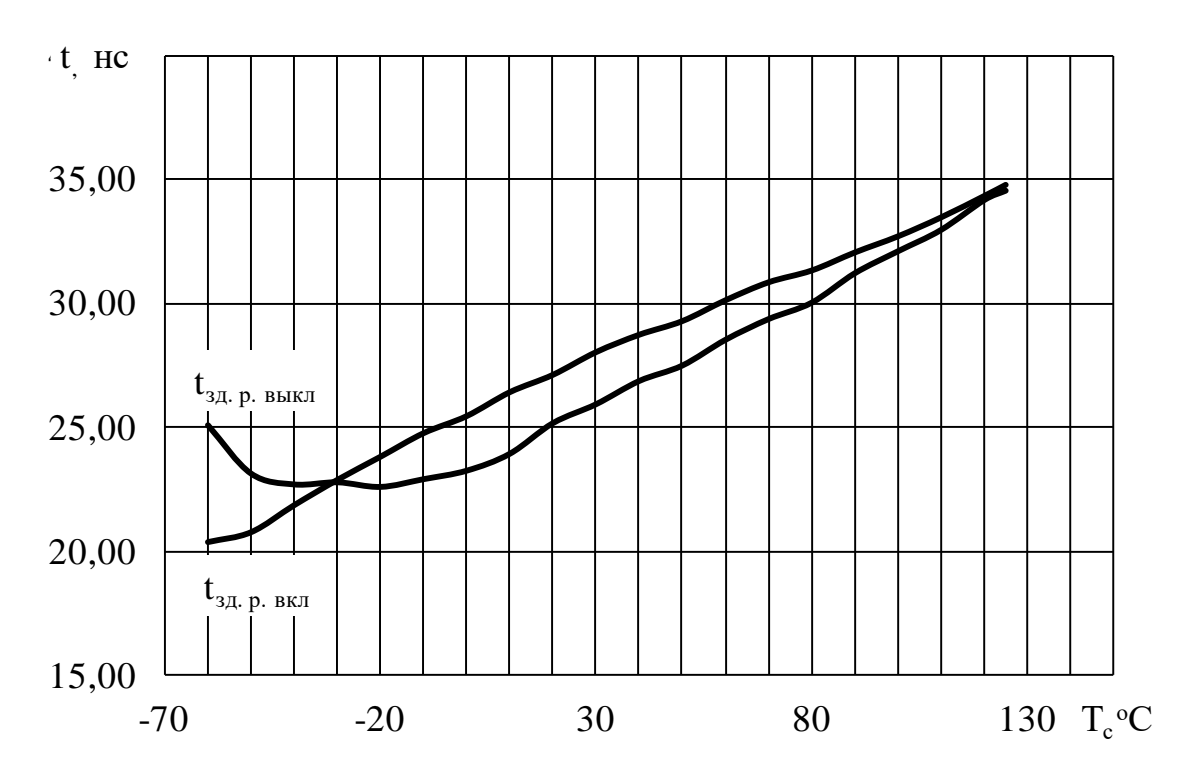


Рисунок 23— Зависимости времени задержки распространения при выключении  $t_{_{3Д.\,\,P.\,\,BЫКЛ}}$  и включении  $t_{_{3д.\,\,P.\,\,BКЛ}}$  от температуры окружающей среды  $T_c$  при емкости нагрузки  $C_{_H}=1$  нФ и напряжении питания  $U_{_\Pi}=18$  В

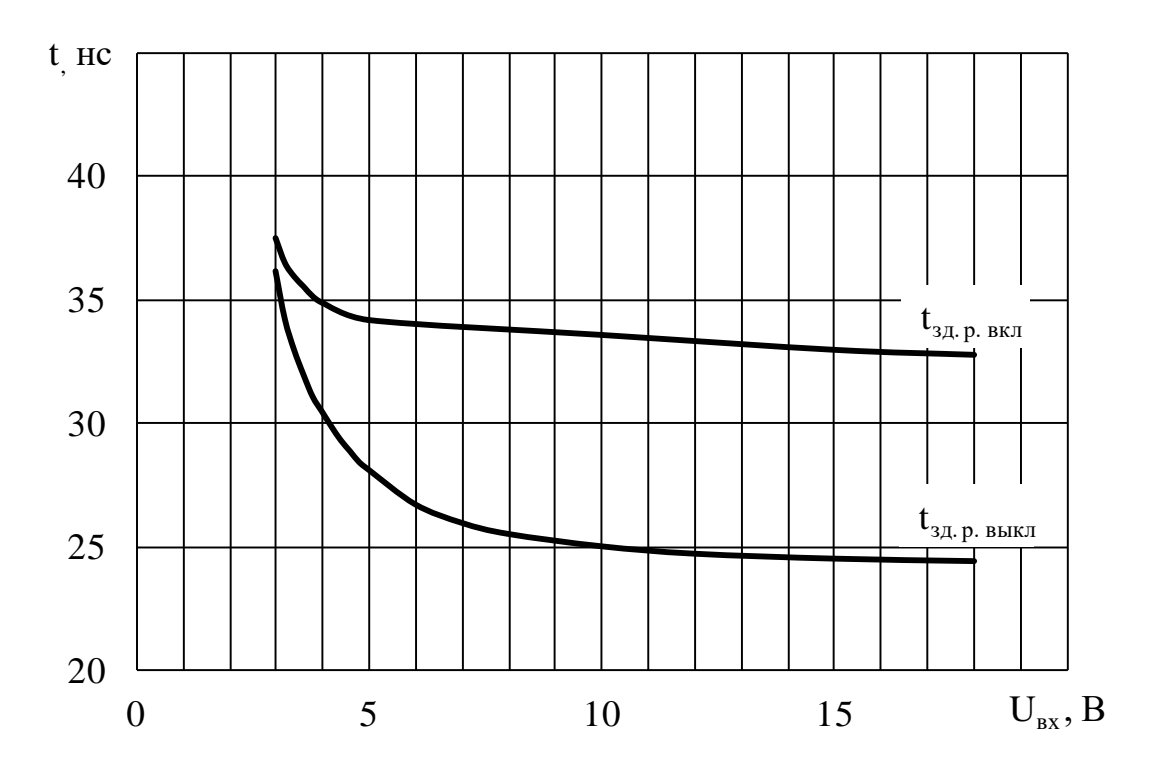


Рисунок 24-3ависимости времени задержки распространения при выключении  $t_{_{3Д.\,\,P.\,\,BыКЛ}}$  и включении  $t_{_{3Д.\,\,P.\,\,BКЛ}}$  от входного порогового напряжения высокого уровня  $U_{\text{пор. вх. в}}$  при емкости нагрузки  $C_{\text{н}}=1$  нФ и напряжении питания  $U_{\text{п}}=18$  В

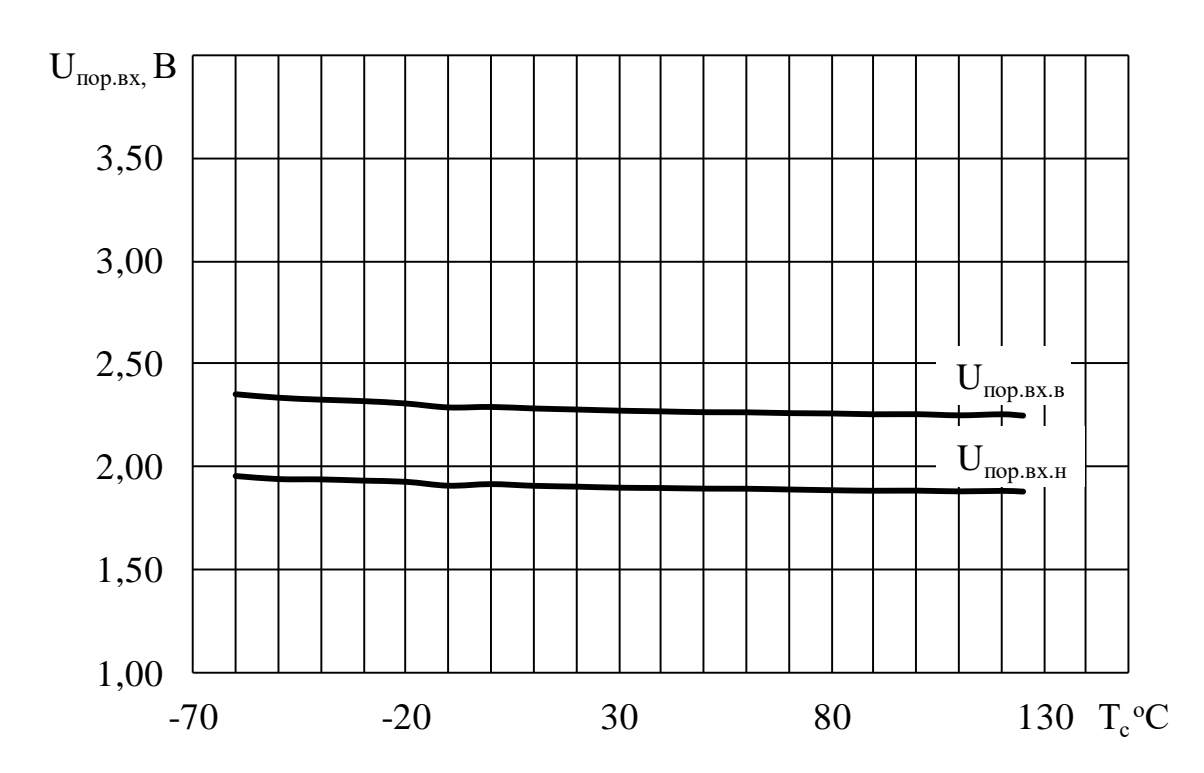


Рисунок 25 — Зависимости времени задержки распространения при выключении  $t_{_{3\text{Д. р. выкл}}}$  и включении  $t_{_{3\text{Д. р. вкл}}}$  от входного порогового напряжения низкого уровня  $U_{\text{пор. вх. н}}$  при емкости нагрузки  $C_{\text{н}}=1$  нФ и напряжении питания  $U_{\text{п}}=18$  В

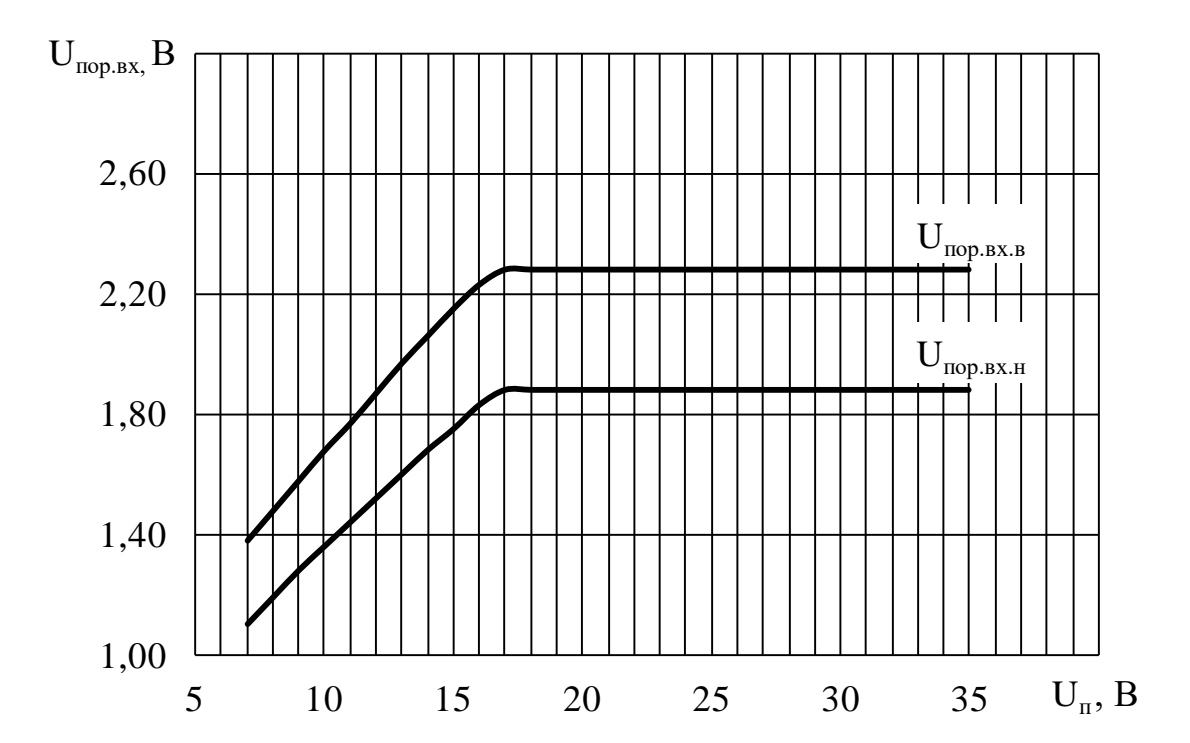


Рисунок 26-3ависимости входного порогового напряжения высокого и низкого уровня  $U_{\text{пор. вх. в}}$  и  $U_{\text{пор. вх. н}}$  от напряжения питания  $U_{\pi}$  при температуре окружающей среды  $T_c=(25\pm 10)$  °C

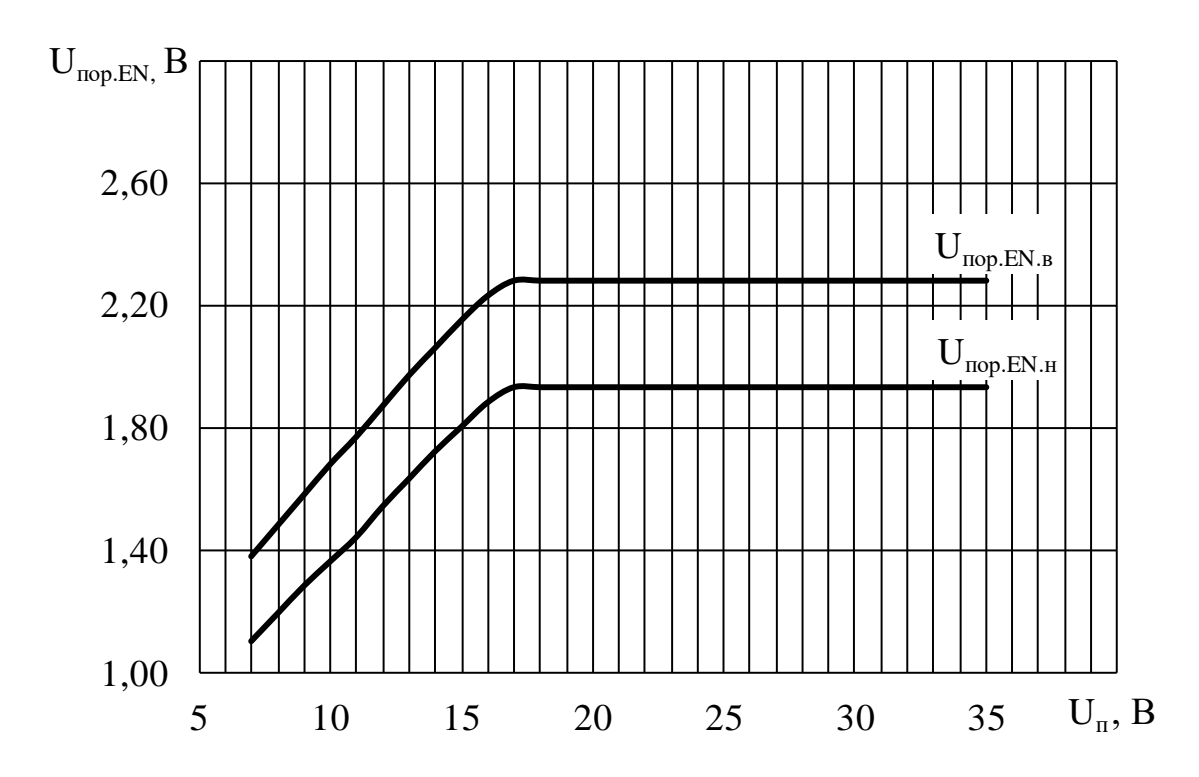


Рисунок 27 — Зависимости входного порогового напряжения высокого и низкого уровня по выводу EN  $U_{\text{пор. EN. B}}$  и  $U_{\text{пор. EN. H}}$  от напряжения питания  $U_{\pi}$  при емкости нагрузки  $C_{\text{H}}=1$  нФ и температуре окружающей среды  $T_{\text{c}}=(25\pm10)$  °C

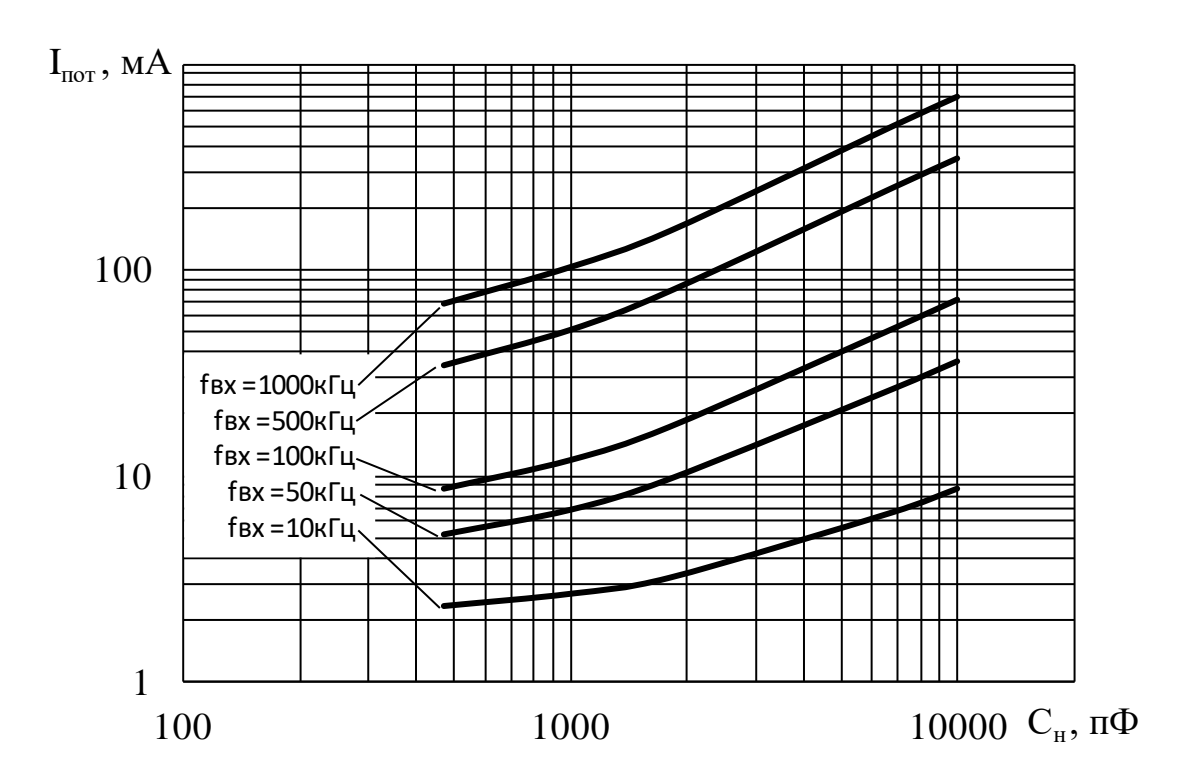


Рисунок 28 — Зависимости динамического тока потребления  $I_{\text{пот}}$  от емкости нагрузки  $C_{\text{н}}$  по обоим каналам при напряжении питания  $U_{\text{п}}$  = 35 B при температуре окружающей среды  $T_{\text{c}}$  =  $(25 \pm 10)$  °C

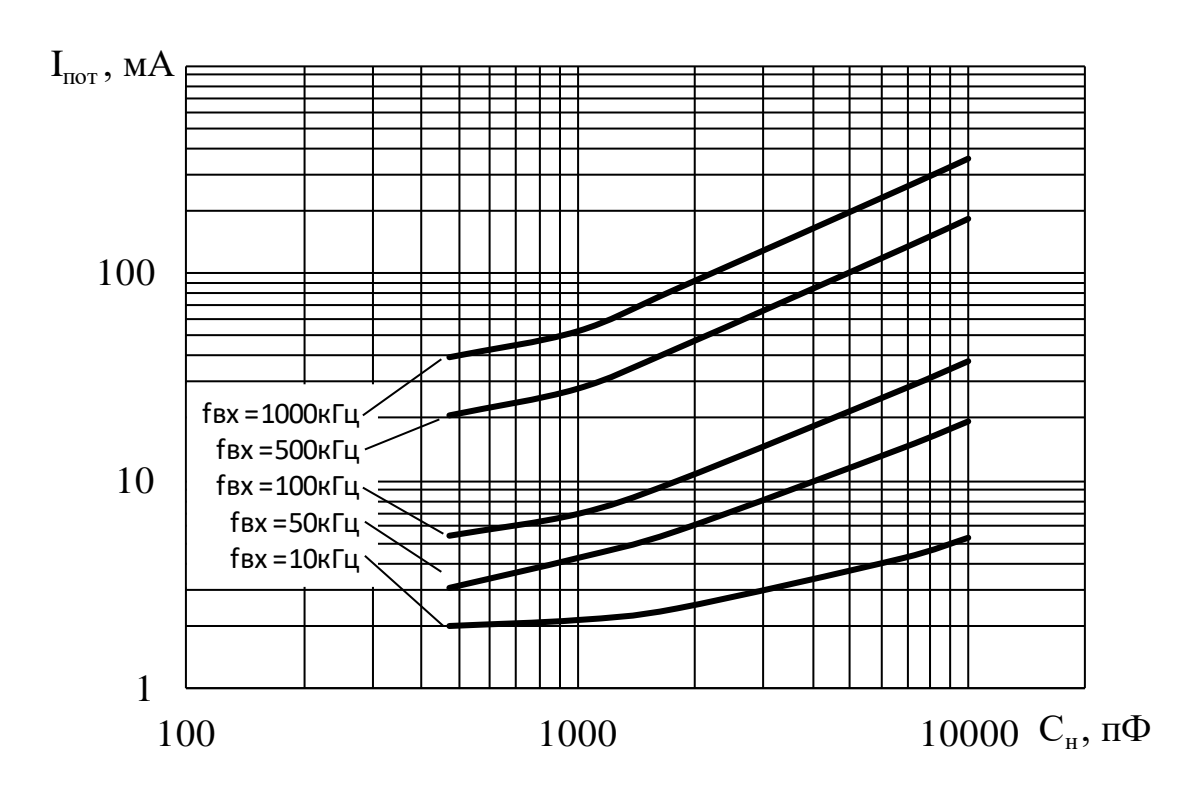


Рисунок 29 — Зависимости динамического тока потребления  $I_{\text{пот}}$  от емкости нагрузки  $C_{\text{н}}$  по обоим каналам при напряжении питания  $U_{\text{п}}=18$  В при температуре окружающей среды  $T_{\text{c}}=(25\pm10)$  °C

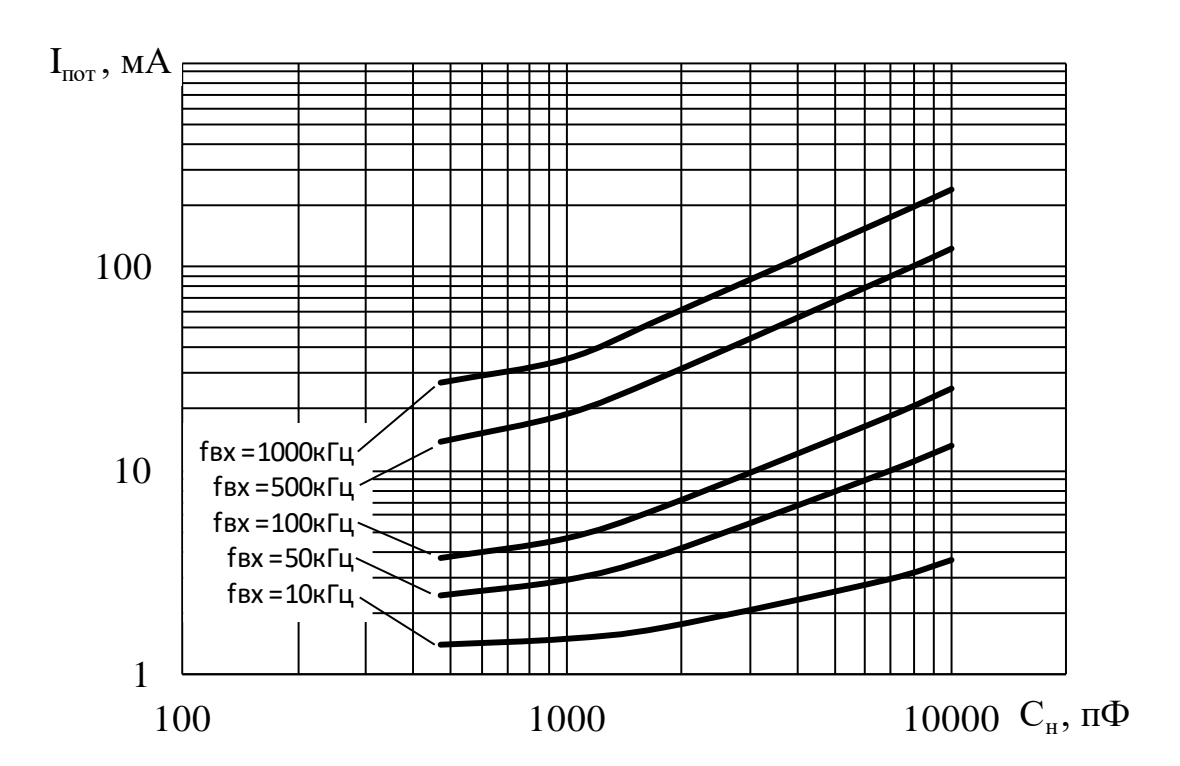


Рисунок 30-3ависимости динамического тока потребления  $I_{\text{пот}}$  от емкости нагрузки  $C_{\text{н}}$  по обоим каналам при напряжении питания  $U_{\text{п}}=12$  В при температуре окружающей среды  $T_{\text{c}}=(25\pm10)$  °C

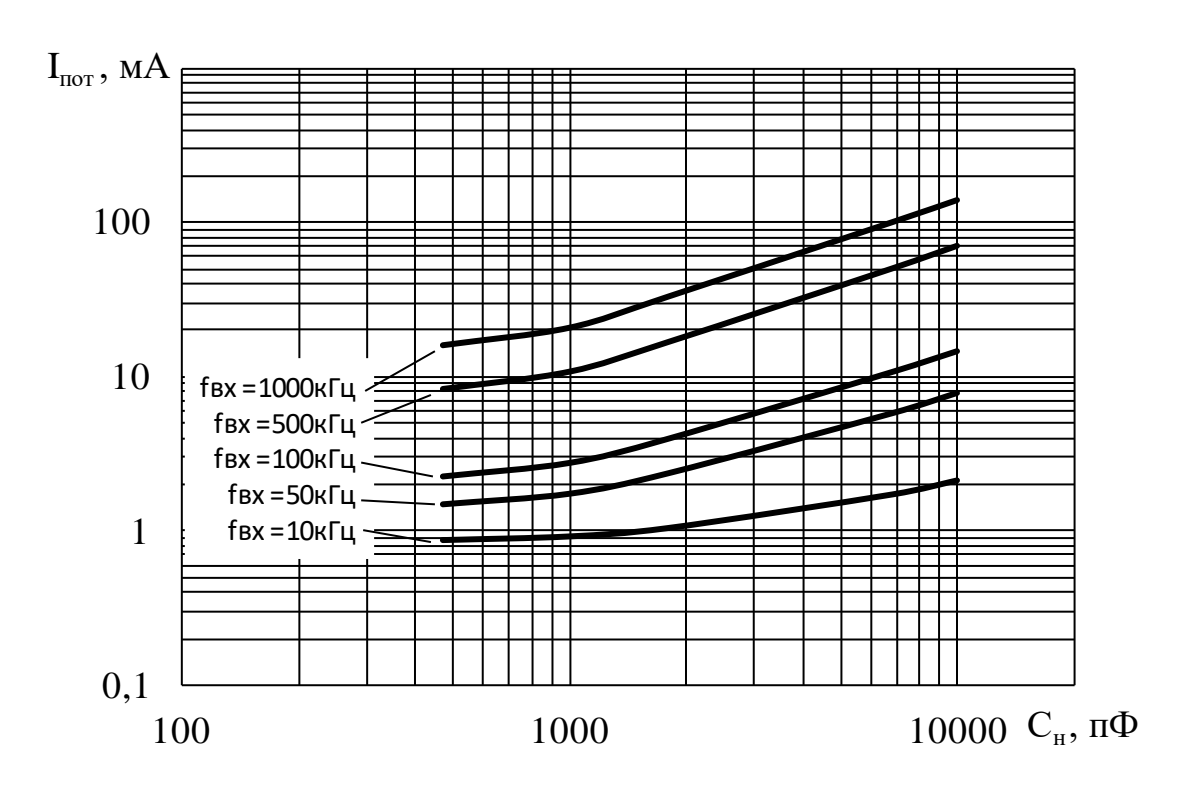


Рисунок 31-3ависимости динамического тока потребления  $I_{\text{пот}}$  от емкости нагрузки  $C_{\text{н}}$  по обоим каналам при напряжении питания  $U_{\text{п}}=7$  В при температуре окружающей среды  $T_{\text{c}}=(25\pm10)$  °C

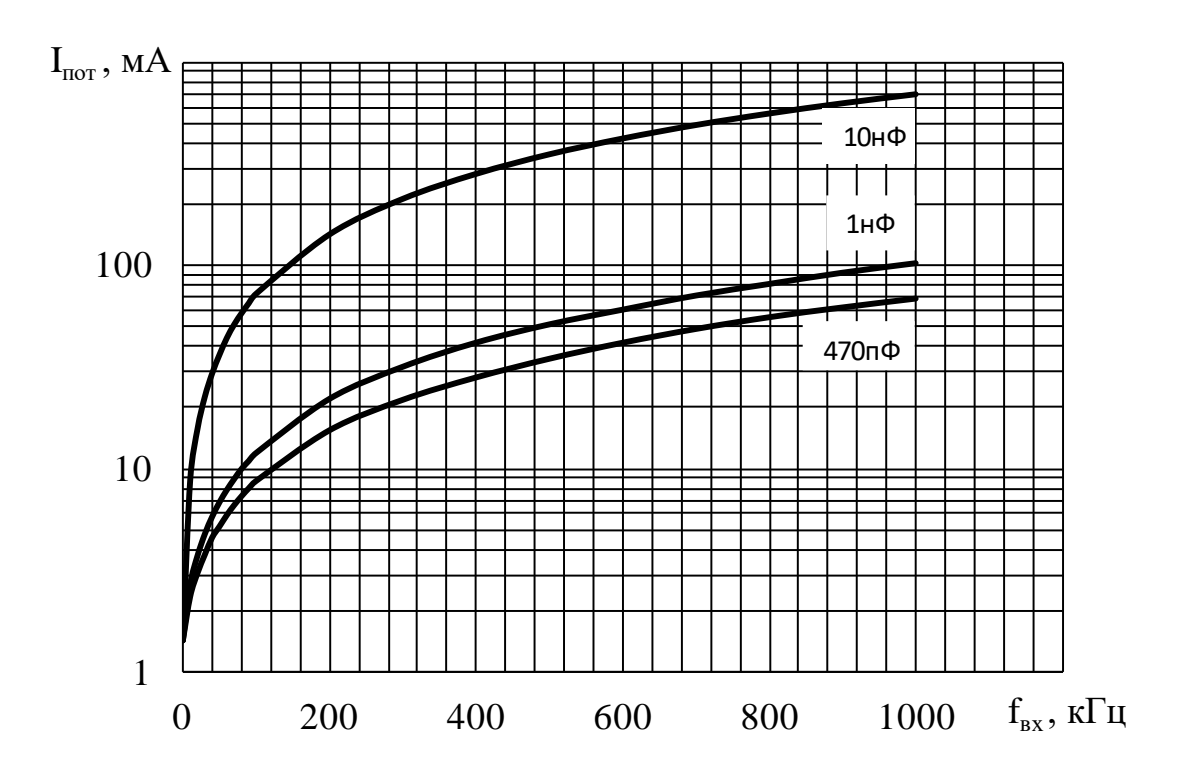


Рисунок 32-3ависимости динамического тока потребления  $I_{\text{пот}}$  от частоты входного сигнала  $f_{\text{вх}}$  при напряжении питания  $U_{\text{п}}=35~B$  при температуре окружающей среды  $T_{\text{c}}=(25\pm10)~^{\circ}\text{C}$ 

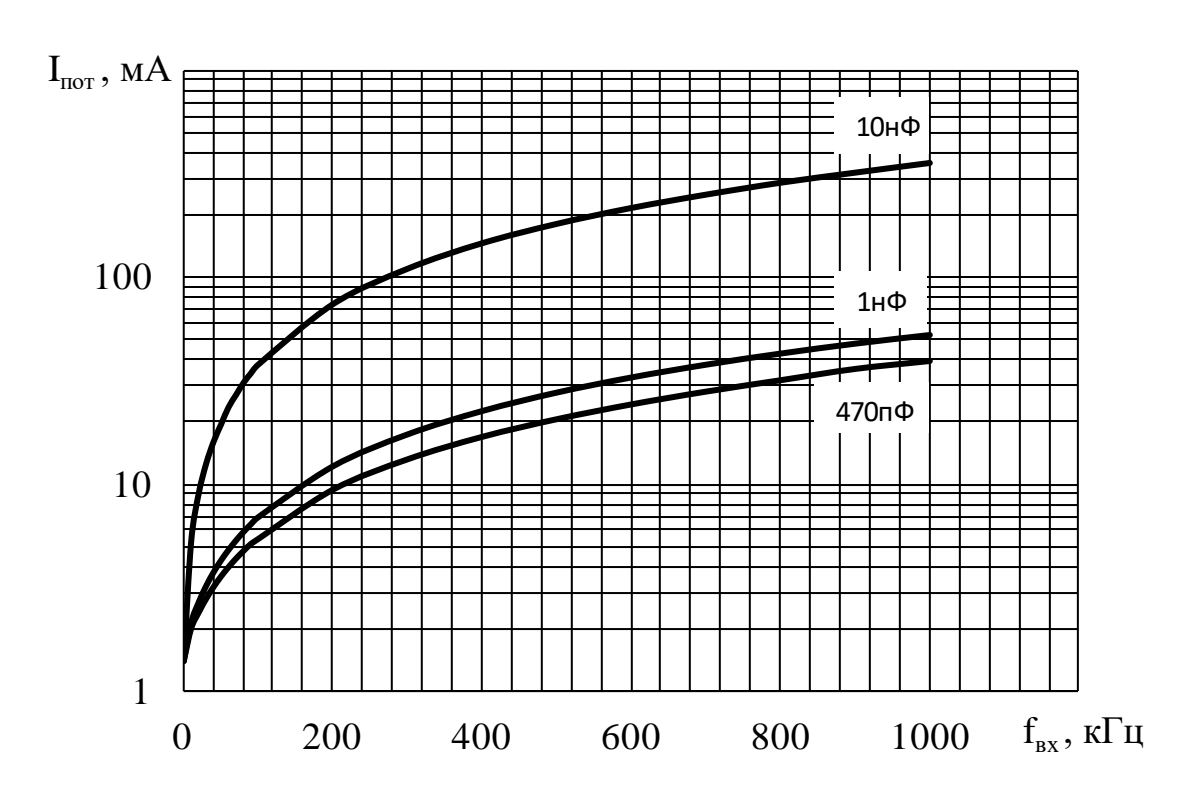


Рисунок 33-3ависимости динамического тока потребления  $I_{\text{пот}}$  от частоты входного сигнала  $f_{\text{вх}}$  при напряжении питания  $U_{\text{п}}=18$  В при температуре окружающей среды  $T_{\text{c}}=(25\pm10)$  °C

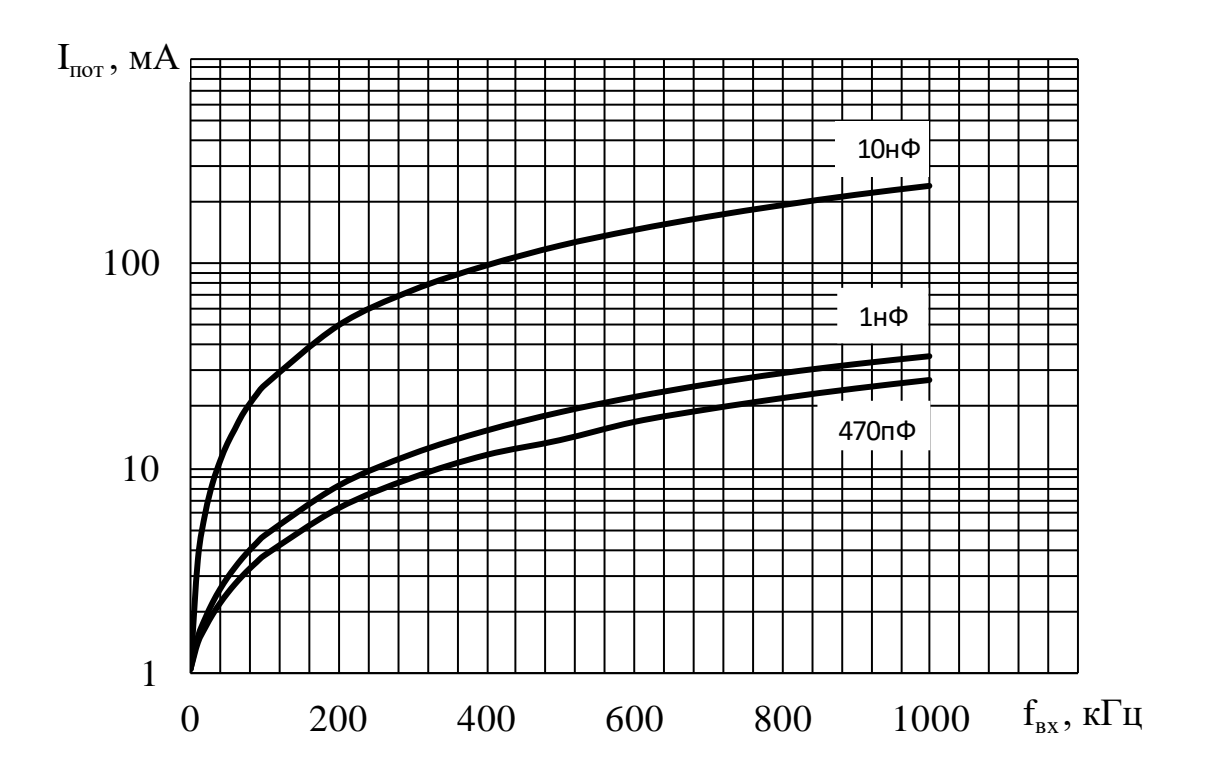


Рисунок 34-3ависимости динамического тока потребления  $I_{\text{пот}}$  от частоты входного сигнала  $f_{\text{вх}}$  при напряжении питания  $U_{\text{п}}=12$  В при температуре окружающей среды  $T_{\text{c}}=(25\pm10)$  °C

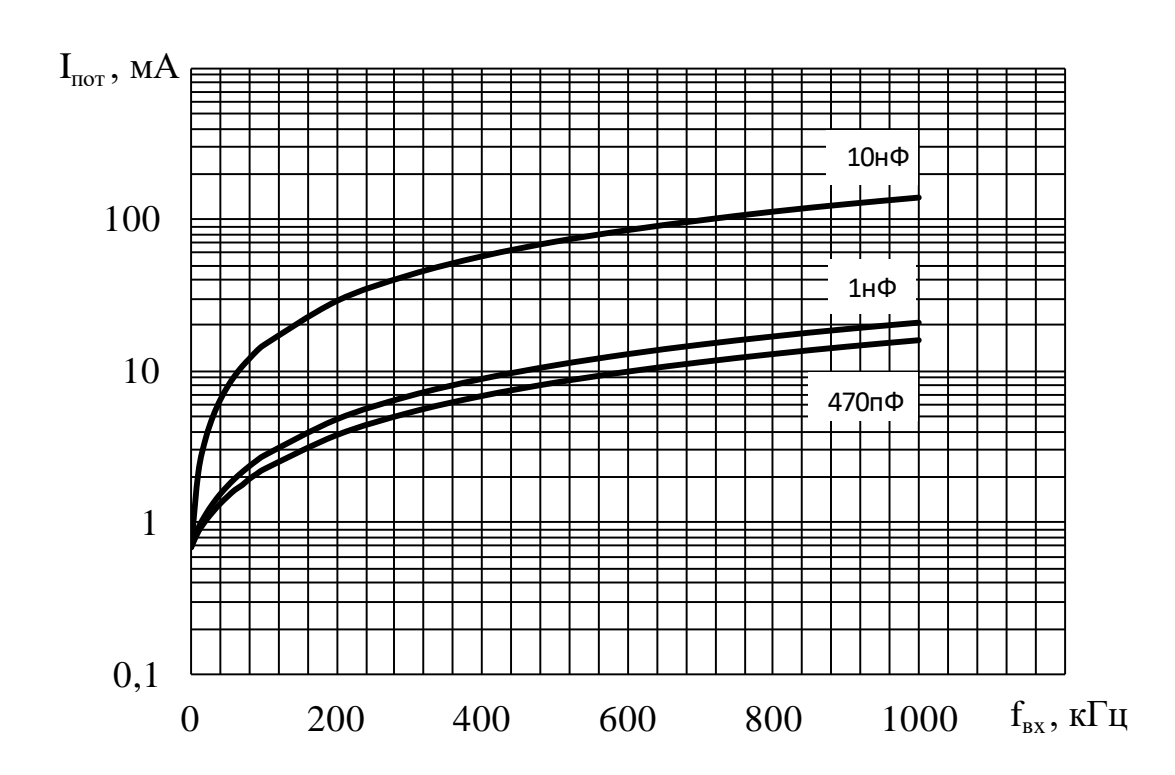


Рисунок 35 — Зависимости динамического тока потребления  $I_{\text{пот}}$  от частоты входного сигнала  $f_{\text{вх}}$  при напряжении питания  $U_{\text{п}}$  = 7 В при температуре окружающей среды  $T_{\text{c}}$  = (25 ± 10) °C



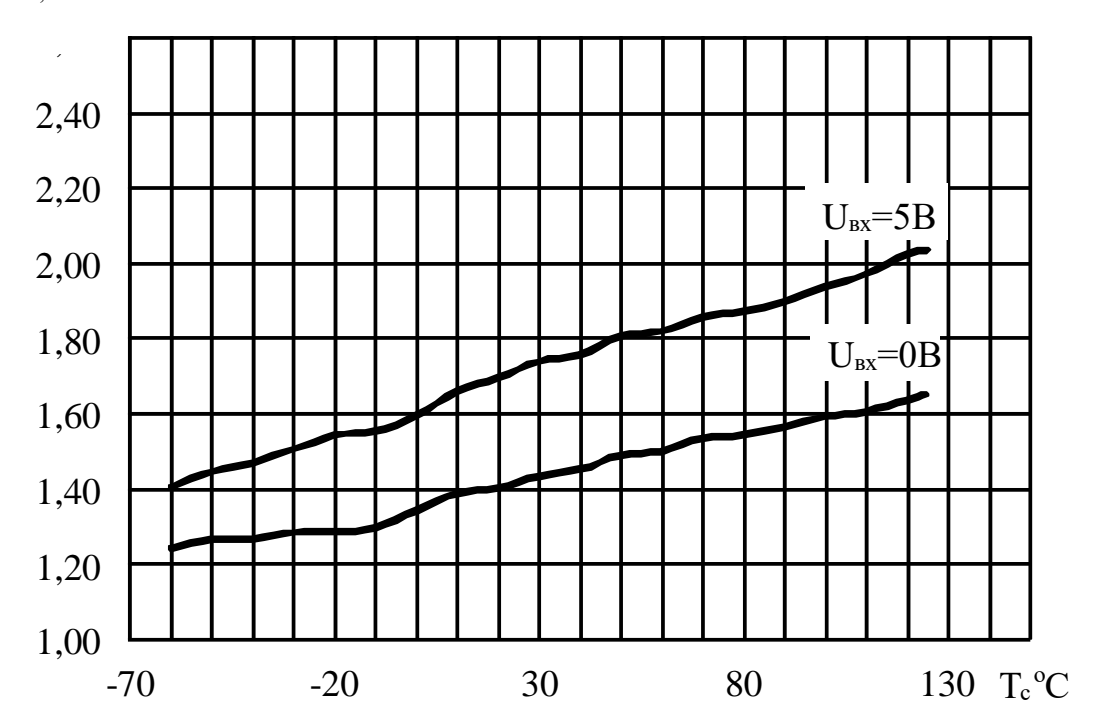


Рисунок 36 — Зависимости тока потребления  $I_{\text{пот.}}$  от температуры окружающей среды  $T_c$  при напряжении питания  $U_{\pi}=18~B$  и входного напряжения  $U_{\text{вх}}=0~B$  и 5 B

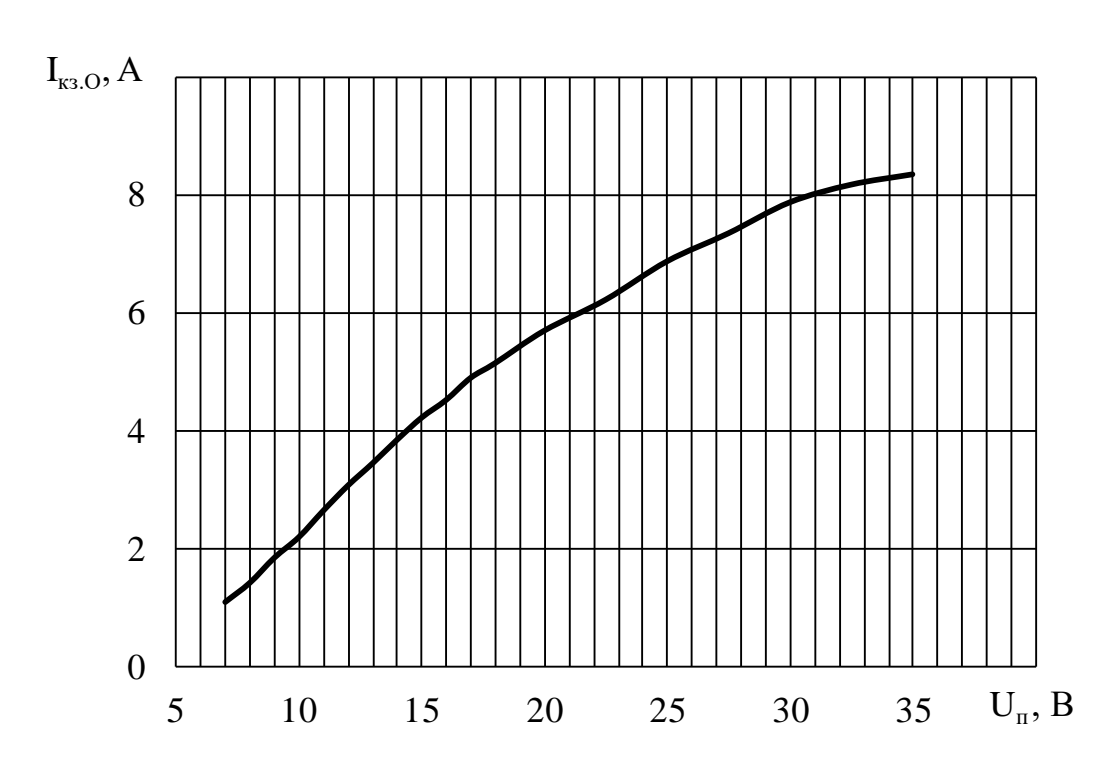


Рисунок 37 — Зависимости тока короткого замыкания на вывод питания  $I_{\text{кз. O}}$  от напряжения питания  $U_{\pi}=7-35~B$  при температуре окружающей среды  $T_{c}=(25\pm10)~^{\circ}\mathrm{C}$ 

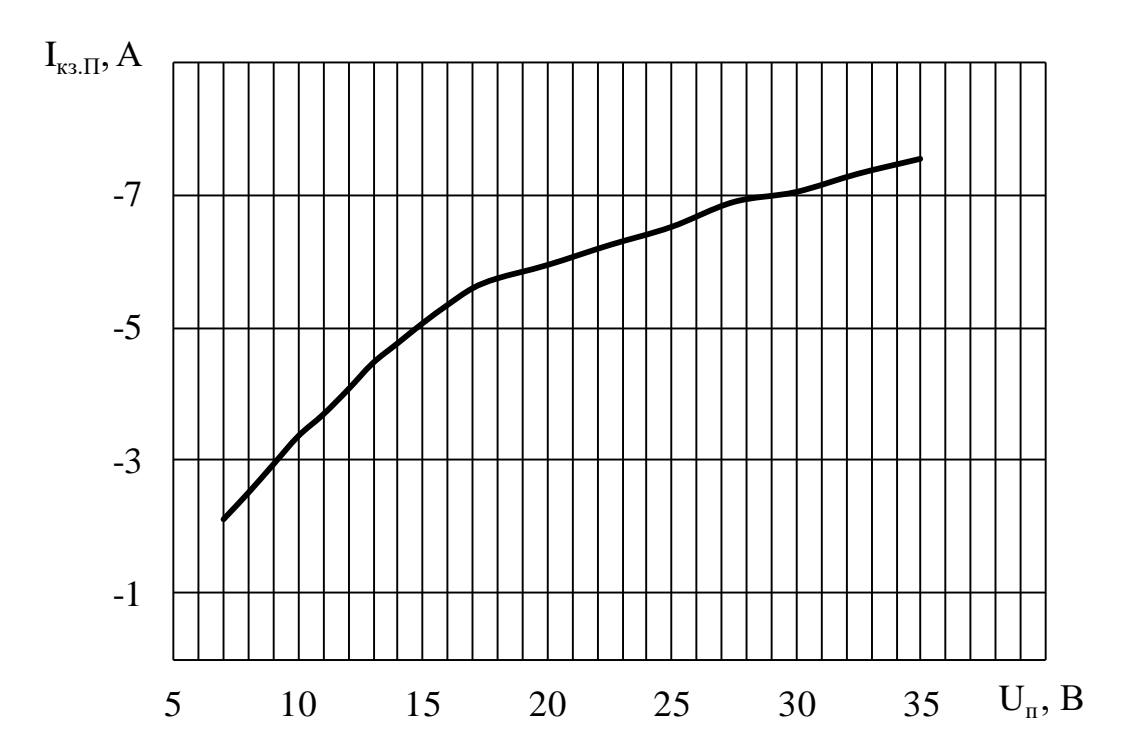


Рисунок 38 — Зависимости тока короткого замыкания на общий вывод  $I_{\kappa 3.~\Pi}$  от напряжения питания  $U_\pi=7-35~B$  при температуре окружающей среды  $T_c=(25\pm 10)~^{\circ}{\rm C}$ 

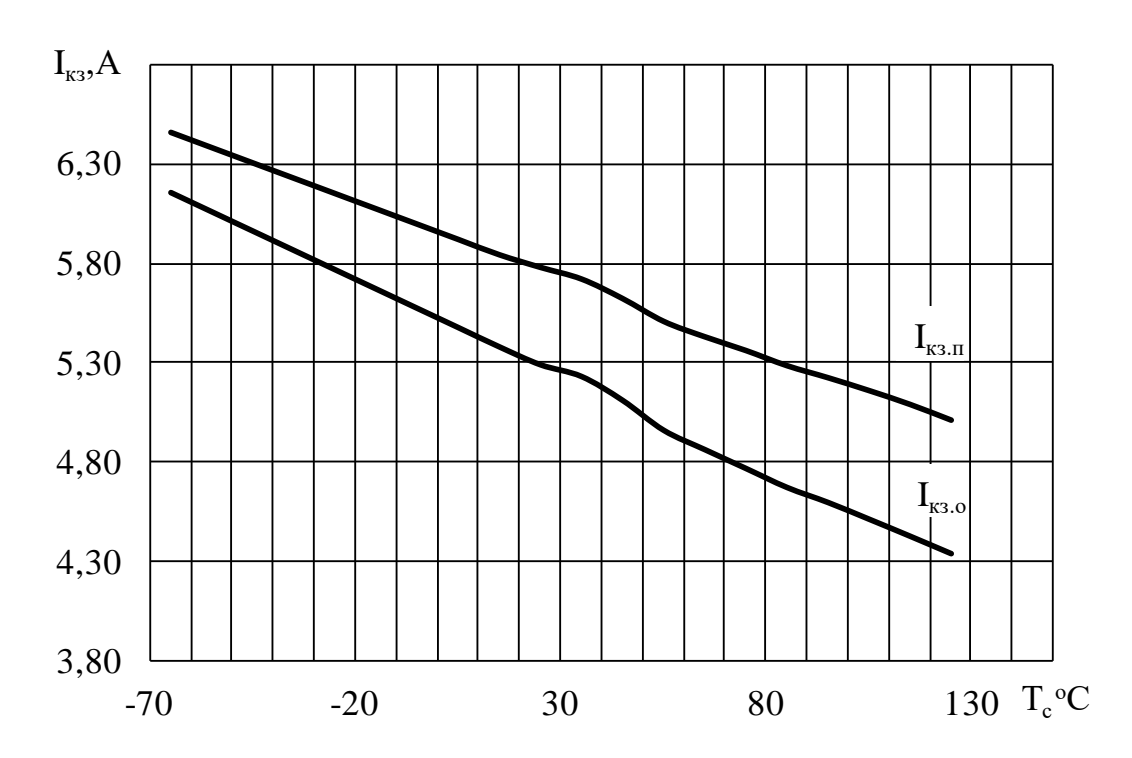


Рисунок 39 — Зависимости тока короткого замыкания на общий вывод  $I_{\mbox{\tiny K3. O}}$  и на вывод питания  $I_{\mbox{\tiny K3. \Pi}}$  от температуры окружающей среды  $T_c$  при напряжении питания  $U_{\mbox{\tiny \Pi}}=18~B$ 

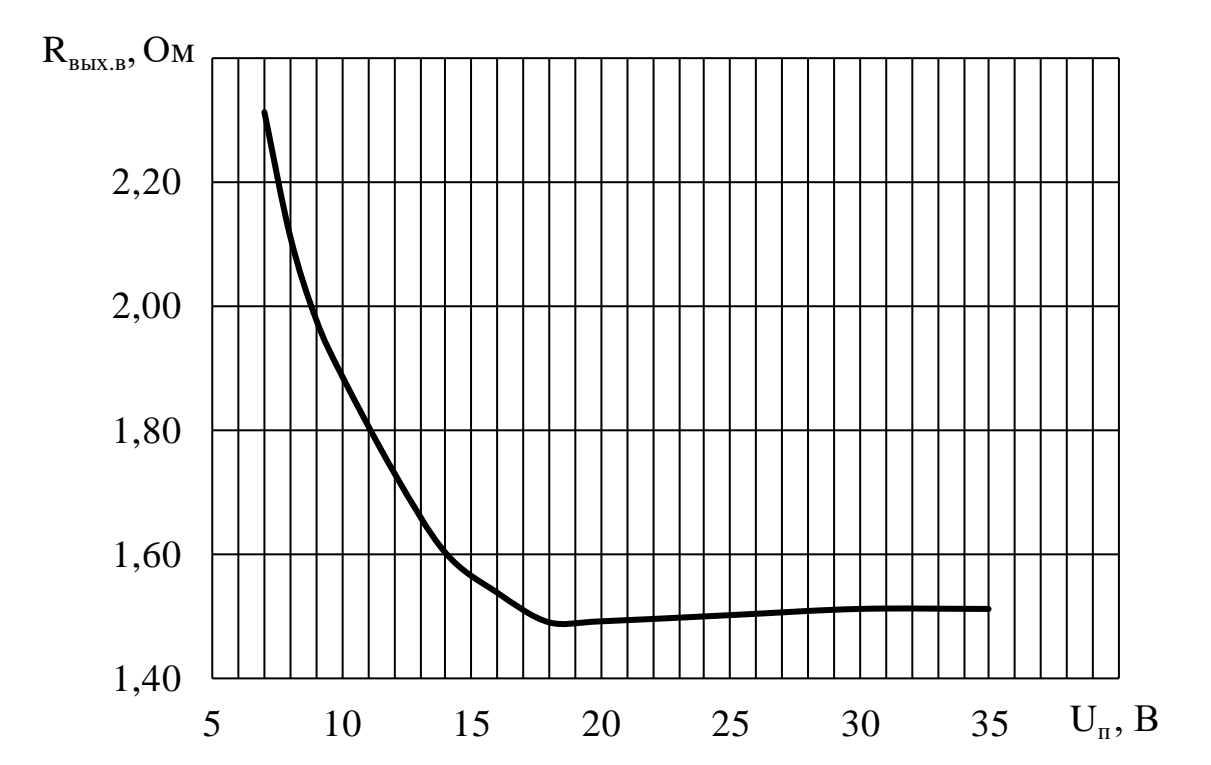


Рисунок 40 — Зависимости выходного сопротивления при высоком уровне выходного напряжения  $R_{\text{вых. B}}$  от напряжения питания  $U_{\pi}$  при выходном токе  $I_{\text{вых}} = 50$  мА и температуре окружающей среды  $T_{c} = (25 \pm 10)$  °C

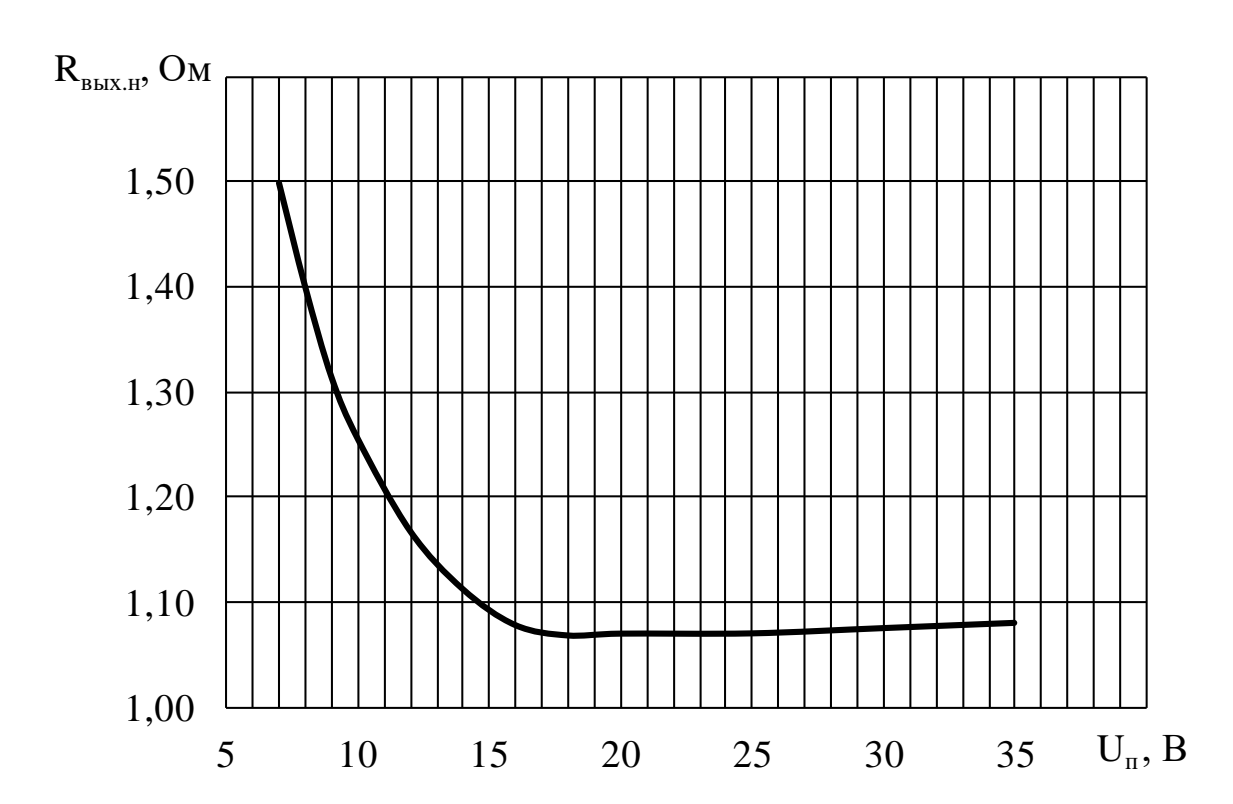


Рисунок 41-3ависимости выходного сопротивления при низком уровне выходного напряжения  $R_{\text{вых. H}}$  от напряжения питания  $U_{\pi}$  при выходном токе  $I_{\text{вых}}=-50$  мА и температуре окружающей среды  $T_{c}=(25\pm10)$  °C

 $\frac{1}{2}$   $\frac{1}$ 

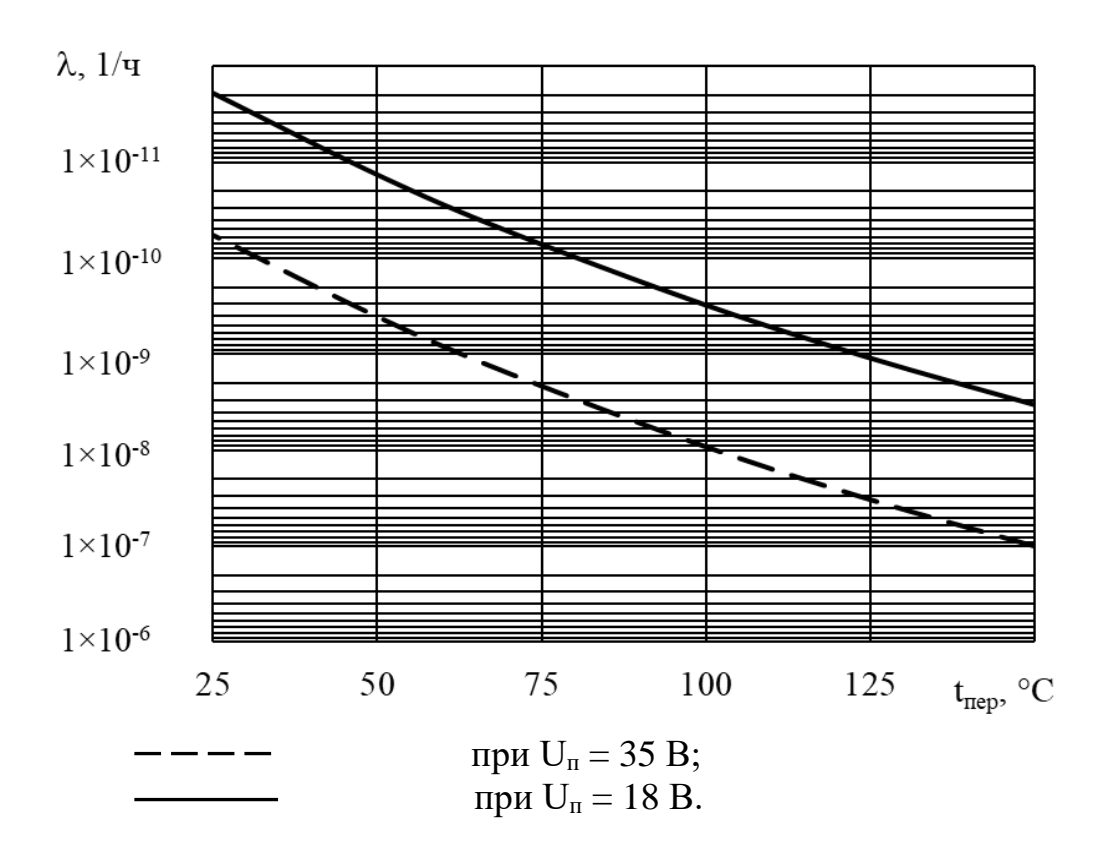


Рисунок 42 — Расчетная зависимость интенсивности отказов ( $\lambda$ ) от температуры p-n перехода ( $t_{\text{пер}}$ ) кристалла микросхем K5342EX014, K5342EX015

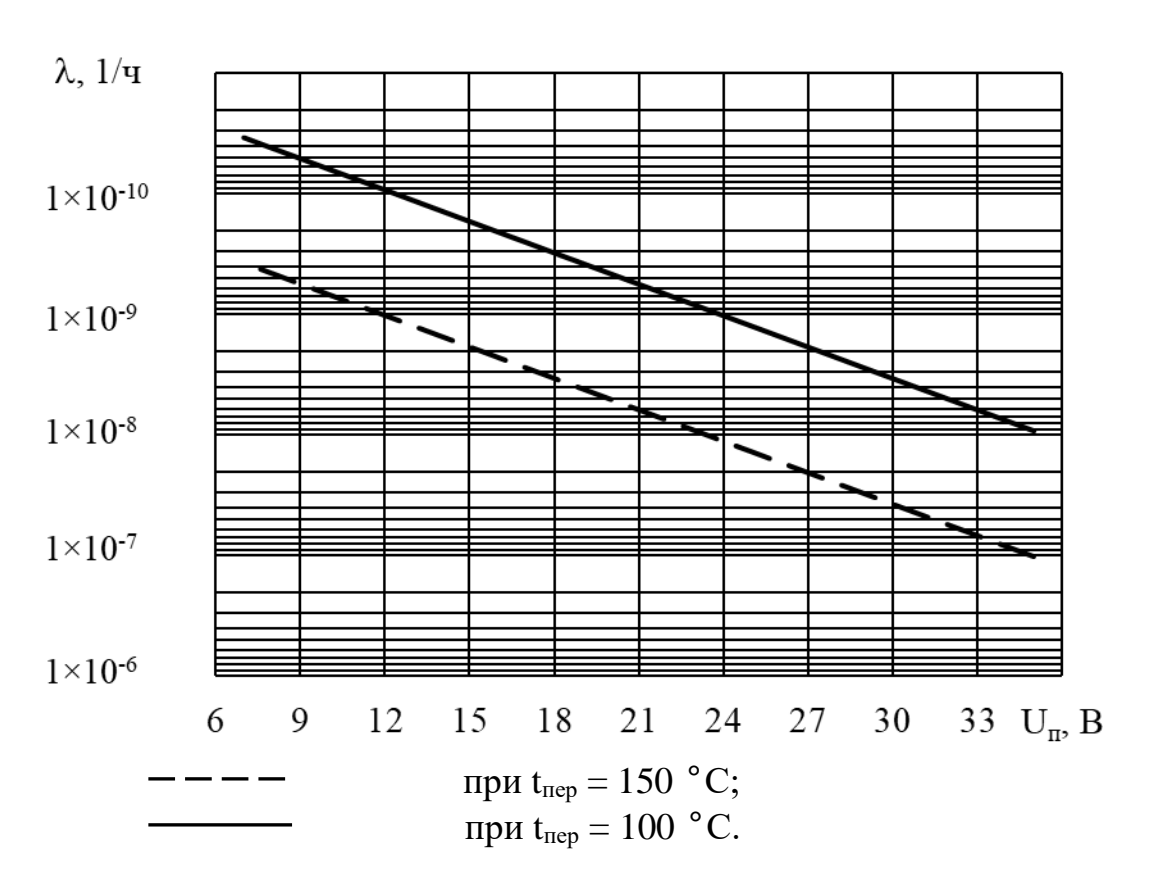


Рисунок 43 — Расчетная зависимость интенсивности отказов ( $\lambda$ ) от напряжения питания микросхем ( $U_{\pi}$ ) K5342EX014, K5342EX015

# Лист регистрации изменений

	Ном	иера лист	ов (стра	ниц)	_		Входящий		
Изм.	изме- ненных	заме- ненных	новых	анну- лиро- ванных	Всего листов (страниц) в доку- менте	Номер доку- мента	номер сопроводительного документа и дата	Под-пись	Дата